

# Beiträge zur Kenntnis des Desmidiaceen-Protoplasten

## III. Permeabilität für Nichtleiter

Von Ingeborg Krebs

Aus dem Pflanzenphysiologischen Institut der Universität Wien

Mit 6 Textabbildungen

(Vorgelegt in der Sitzung am 19. Juni 1952)

### Einleitung.

Die vergleichende Permeabilitätsforschung hat in den letzten zwei Jahrzehnten einen großen Aufschwung erfahren. Die zur Zeit unterscheidbaren 5 Typen von Permeabilitätsreihen (H ö f l e r 1942, B i e b l 1948) brachte H ö f l e r (1950) anschaulich zur Darstellung: Amidophiler Porentyp, amidophiler Lösungstyp, amidophober Lösungstyp, Zuckertyp und Ultrafiltrertyp.

Permeabilitätsmessungen an Algen wurden zumal an Diatomeen angestellt (M a r k l u n d 1936, E l o 1937, H ö f l e r 1940, 1943). Die Literatur über hohe Permeabilität an Blaualgen hat K u c h a r (1950) zusammengestellt. Die Characeen sind von C o l l a n d e r und seiner Schule eingehendst untersucht worden; sonst liegen über Chlorophyceen, von marinen *Siphonales* und *Siphonocladiales* abgesehen, nur einzelne Befunde vor. — Über *Conjugaten*, die sonst zu zellphysiologischen Untersuchungen so reichlich herangezogen worden sind, gibt es nur spärliche Angaben. L e p e s c h k i n (1909) untersuchte als erster mit quantitativer Methodik die Glycerinpermeabilität von *Spirogyra*. Viel später stellte M a r k l u n d (1936) für *Zygnema cyanosporum* und E l o (1937) für *Spirogyra* sp. grenzplasmolytisch gewonnene quantitative Reihen der Permeationskonstanten auf. Untersuchungen über die Permeabilität der Desmidiaceen sind noch nicht veröffentlicht.

Über die ungemein niedrige Intrabilität der Desmidiaceen berichtet H ö f l e r (1951). Das Plasmalemma vieler Arten schließt

auffallend dicht ab. Dennoch ist das Permeabilitätsverhalten der Desmidiaceen, wie meine Versuche zeigen sollen, ein weitgehend normales.

Zur plasmometrischen Permeabilitätsmessung konnten nur wenige Formen ausgewählt werden, deren Zellen gut meßbar sind und die in genügender Menge vorhanden waren. Am besten entsprachen diesen Anforderungen unter den verfügbaren Arten *Pleurotaenium Ehrenbergii* und *Closterium Dianae*. Daneben wurde eine größere Zahl von Arten mit komplizierteren Zellformen nach der Deplasmolysezeitmethode von Hofmeister (1948) beobachtet.

### Methode.

Zur Bestimmung der Permeabilität des Desmidiaceenplasmas für verschiedene Plasmolytika wurde die plasmometrische Methode von Höfler (1918 a, b, c; 1934 a, b) verwendet. Hier und bei Hofmeister 1935 und Kreuz 1940 wurde diese Methode bereits ausführlich dargestellt. Die Zellform von *Pleurotaenium Ehrenbergii* ist nahezu zylindrisch, so daß in

diesem Fall die Formel  $G = \frac{1 - \frac{b}{3}}{h}$  zur Anwendung gelangen konnte;

$G$  ist der Plasmolysegrad,  $l$  die Länge des Protoplasten,  $b$  die Zellbreite,  $h$  die Länge der Zelle. Alle 5 oder 10 Minuten wurde die Länge des Protoplasten gemessen und dann die Differenz  $G_2 - G_1$  gebildet. Diese Differenz des Plasmolysegrades, bezogen auf eine Stunde, ist  $\Delta G$ . Die Zellenden von *Pleurotaenium Ehrenbergii* (Abb. 2, S. 293) sind leicht verjüngt, was durch eine kleine Korrektur der gemessenen Zelllänge  $h$  berücksichtigt werden kann, im übrigen aber als Fehlerquelle gegenstandslos ist. Ebenso kann die leichte, wellenförmige Anschwellung beiderseits des Isthmusringes, die leer liegt, unberücksichtigt bleiben. Natürlich sind schlanke Zellen mit zylindrischen und nicht tonnenförmig erweiterten Zellhälften zu wählen.

Bei *Closterium Dianae* (Abb. 1) lag der Fall komplizierter, da diese Zellen hornförmig gekrümmt sind. Solche Zellen wurden bisher zu quantitativen plasmometrischen Messungen noch nicht herangezogen. Ratschläge bezüglich der mathematischen Behandlung der Volumsverhältnisse verdanke ich der freundlichen Hilfe Herrn Professor Müllers. Man kann sich die Form der *Closteriumzelle* aus lauter immer kleiner werdenden Doppelkegelstümpfen zusammengesetzt denken. Die Volumina ähnlicher Doppelkegel verhalten sich wie die Kuben ihrer Höhen.

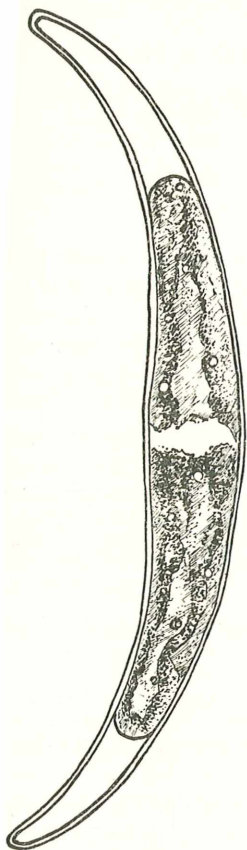


Abb. 1.  
*Closterium Dianae.*

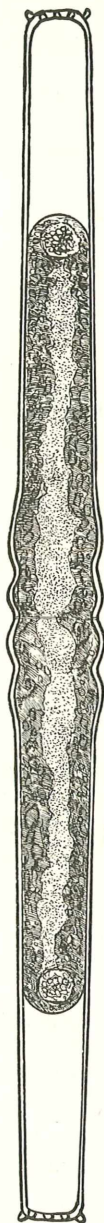


Abb. 2.  
*Pleurotaenium  
Ehrenbergii.*

$$V_1 : V_2 = h^3 : (h-l)^3 \qquad V_2 = V_1 \left( \frac{h-l}{h} \right)^3$$

$$x = \frac{V_2 - V_1}{V_2} = 1 - \frac{V_1}{V_2} = 1 - \left( \frac{h-l}{h} \right)^3 \qquad \frac{1}{h} = y$$

$$\underline{\underline{x = 1 - (1-y)^3}} \qquad \frac{dx}{dy} = 3(1-y)^2$$

$$y = \frac{1}{h}; \text{ kann alle Werte von 0 bis 1 annehmen.}$$

y = 0	0,1	0,2	0,3	0,4	0,5	0,6	0,7	0,8	0,9	1
x = 0	0,271	0,488	0,657	0,784	0,875	0,936	0,973	0,992	0,999	1

$$\frac{dx}{dy} = 3 \qquad 0$$

x wächst von y=0 bis y=1 stets an.

$\frac{dx}{dy}$  nimmt von y=0 bis y=1 stets ab.

Daher die Formel  $x = 1 - (1-y)^3$ .

Aus der aus obiger Zahlenreihe konstruierten Kurve kann aus dem Verhältnis der Länge des Protoplasten zur Zelllänge das Volumsverhältnis abgelesen und so der Plasmolysegrad verhältnismäßig rasch bestimmt werden. Die Differenz der Plasmolysegrade ergibt dann wieder  $\Delta G$ . Die Protoplasten lagen bei den gemessenen Zellen von *Closterium Dianae* auch während der Rückdehnung so parallel der Mittelachse, daß sich hier eine Korrektur erübrigt.

Als Plasmolytika wurden Harnstoff, Methylharnstoff, Malonamid, Glycerin, Erythrit und Traubenzucker verwendet. Auf die Heranziehung anderer (zum Teil schädigender) Plasmolytika, die nur im Partialverfahren angewandt werden könnten (Hofmeister 1935, 1948), wurde vorläufig verzichtet. Die Herstellung der einmolaren Stammlösungen erfolgte mit aqua bidestillata. Die Verdünnung auf die jeweils benötigte Konzentration wurde mit Moorwasser vom Standort durchgeführt.

Die Algen wurden mittels Pipette auf den Objektträger gebracht und das Wasser abgesaugt. Darauf wurde rasch die Lösung zugesetzt und das Deckglas aufgelegt. Bei längerer Versuchsdauer wurden die Präparate mit Vaseline eingeschlossen, um das Verdunsten der Lösung zu verhindern. Die Messungen erfolgten mit einem Okularmikrometer. Ein Teilstrich entspricht  $3,3 \mu$ . Gegenüber anderen Autoren glaubte ich mich auf ganze Teilstriche beschränken zu können.

Bei der Permeabilitätsbestimmung nach der Deplasmolysezeit von Hofmeister (1948) wurde zunächst grenzplasmolytisch der osmotische Wert bestimmt (vgl. Krebs 1951) und dann P' aus der Formel  $\frac{120 (C-O)}{T (C+O)}$  errechnet, wobei C die Konzentration

des Plasmolytikums, O der osmotische Wert der Zelle und T die Deplasmolysezeit darstellt. Näheres über die Ableitung der Formel siehe bei Hofmeister (1948, S. 85 f.).

## A. Permeabilität von Harnstoff, Glycerin und Methylharnstoff.

### Harnstoff.

Als Beispiel für die Permeationsgeschwindigkeit von Harnstoff sei ein Versuch vom 12. 9. 1949 an bei sonnigem Wetter frisch eingebrachtem Material angeführt.

Um 13<sup>h</sup> 55 wurde *Closterium Dianae* aus RMK. in 0,8 molaren Harnstoff eingelegt. Temp. 20° Celsius. Die innere Zellbreite betrug in der Zellmitte bei allen vier Zellen 4 Mikrometerteilstriche; 1 Teilstrich entspricht 3,3  $\mu$ .

Zelle 1		Zelle 2		Zelle 3		Zelle 4	
h 54		h 50		h 56		h 51	
14 <sup>h</sup> 02	l = 35	14 <sup>h</sup> 03	l = 39	14 <sup>h</sup> 04	l = 34	14 <sup>h</sup> 05	l = 31
07	36	08	41	09	36	10	33
12	38	13	44	14	39	15	36
17	39	18	46	19	45	20	40
22	42	23	47	24	47	25	44
$\Delta G$ 0,27		$\Delta G$ 0,855		$\Delta G$ 0,60		$\Delta G$ 0,69	

Die folgende Tabelle gibt kurz die Ergebnisse der Versuche über Harnstoffpermeabilität an *Closterium Dianae* wieder, die in der Ramsau bei Schladming an frischem Material durchgeführt worden sind. Die Winterversuche im Wiener Pflanzenphysiologischen Institut folgen später.

Datum	Temp.	Einzelwerte für $\Delta G$						Mittelwert
12. 9. 49	16° C	0,22	0,23					$\Delta G = 0,225$
12. 9. 49	19° C	0,08	0,09	0,11	0,18	0,22	0,2	0,147
12. 9. 49	20° C	0,27	0,855	0,6	0,69			0,604
13. 9. 49	16° C	0,15	0,11	0,285	0,16	0,36		0,213
13. 9. 49	27° C	0,36	0,17	0,15	0,2	0,42		0,260
16. 9. 49	18° C	0,11	0,15	0,21	0,25	0,15		0,174
18. 9. 49	9° C	0,29	0,35	0,31	0,39	0,2		0,308
18. 9. 49	23° C	0,17	0,14	0,8	0,8	0,61		0,504
18. 9. 49	33° C	2,65	2,2					2,425
19. 9. 49	15° C	0,06	0,11	0,14	0,08	1,22		0,122
19. 9. 49	16° C	1,05	0,795	1,515	0,405	0,99		0,991

Datum	Temp.	Einzelwerte für $\Delta G$					Mittelwert
19. 9. 49	16° C	1,14	0,13	0,54	0,66	0,47	0,588
5. 10. 49	22° C	1,035	1,08	1,14	1,74	0,645	1,128
29. 9. 49	15° C	0,26	0,42	0,285	0,225		0,247
29. 9. 49	21° C	0,16	0,18	0,28	0,14		0,190
9. 10. 49	18° C	0,78					0,780
8. 8. 50	28° C	0,99	1,56	1,71	1,65	1,02	1,386
8. 8. 50	28° C	0,6	1,92	1,5	1,4	1,3	1,364

Ein Beispiel für die Harnstoffpermeabilität an *Pleurotaenium Ehrenbergii*, das ebenfalls in RMK. gesammelt worden war, gibt der Versuch vom 13. 9. 1950. Die Temperatur betrug 25° C. Die Zellen waren um 15 Uhr 01 in 0,8 molaren Harnstoff eingelegt und das Präparat mit Vaseline verschlossen worden.

Zelle 1	Zelle 2	Zelle 3	Zelle 4	Zelle 5
h 120	h 154	h 120	h 119	h 139
15 <sup>b</sup> 18 l=88	15 <sup>b</sup> 19 l=140	15 <sup>b</sup> 20 l=94	15 <sup>b</sup> 21 l=96	15 <sup>b</sup> 22 l=117
23 96	24 149	25 103	26 105	27 121
28 105	29 dpl.	30 112	31 114	32 131
33 115		35 117	36 dpl.	37 135
$\Delta G$ 0,88	$\Delta G$ 0,72	$\Delta G$ 0,76	$\Delta G$ 1,50	$\Delta G$ 0,48

Folgende Tabelle gibt wieder die Gesamtübersicht über die in der Ramsau durchgeführten Versuche über Harnstoffpermeabilität an *Pleurotaenium Ehrenbergii* wieder:

Datum	Temp.	Einzelwerte für $\Delta G$					Mittelwert
8. 10. 49	18° C	0,586					$\Delta G = 0,586$
8. 8. 50	28° C	0,627	0,211	0,393			0,410
13. 9. 50	25° C	1,92	2,52	1,92			2,120
13. 9. 50	25° C	0,88	0,72	0,76	0,48	1,5	0,87
14. 9. 50	25° C	0,86	0,366	0,78	0,669		0,669
14. 9. 50	25° C	0,474	0,738				0,606

### Glycerinpermeabilität.

Die Permeationsgeschwindigkeit von Glycerin ist wesentlich geringer als die von Harnstoff. Die höchsten Werte für  $\Delta G$  lagen bei 0,12 für *Closterium Dianae*. Die übrigen Werte waren niedriger.

Auch für Glycerin sei ein Versuch, und zwar vom 21. 9. 1949 an *Closterium Dianae*, beschrieben. Um 17 Uhr 30 wurde frisches Material aus RMK. in 0,8 molares Glycerin eingeschlossen. Temperatur 22 Grad Celsius.

Zelle 1 h 61	Zelle 2 h 59	Zelle 3 h 54	Zelle 4 h 53	Zelle 5 h 54
17 <sup>h</sup> 40 l=31	17 <sup>h</sup> 41 l=30	17 <sup>h</sup> 42 l=26	17 <sup>h</sup> 43 l=40	17 <sup>h</sup> 44 l=27
50 36	51 30	52 29	53 42	54 29
18 <sup>h</sup> 00 42	18 <sup>h</sup> 01 31	18 <sup>h</sup> 02 34	18 <sup>h</sup> 03 45	18 <sup>h</sup> 04 33
10 48	11 34	12 37	13 47	14 35
20 dpl.	21 37	22 42	23 dpl.	24 40
	31 40	32 45		34 48
	41 44	42 48		44 50
$\Delta G$ 0,35	$\Delta G$ 0,135	$\Delta G$ 0,345	$\Delta G$ 0,40	$\Delta G$ 0,415

Die Gesamtergebnisse waren:

Datum	Temp.	Einzelwerte für $\Delta G$					Mittelwert
21. 9. 49	22° C	0,350	0,135	0,345	0,4	0,450	$\Delta G = 0,325$
29. 9. 49	19° C	0,135	0,06	0,045			0,08
6. 10. 49	19° C	0,08	0,08	0,05			0,07
9. 10. 49	18° C	0,12	0,12	0,065	0,065	0,03	0,08

Auch hier verhielt sich *Pleurotaenium Ehrenbergii* ähnlich.

Das zeigt ein Versuch vom 14. 9. 1950. Um 7 Uhr 40 wurden frische Zellen aus RMK. in 0,8 molares Glycerin eingelegt. Temperatur 19 Grad Celsius.

Zelle 1 h 134	Zelle 2 h 181	Zelle 3 h 152	Zelle 4 h 119
10 <sup>h</sup> 41 l=78	10 <sup>h</sup> 42 l=131	10 <sup>h</sup> 43 l=96	10 <sup>h</sup> 44 l=63
11 <sup>h</sup> 41 66	11 <sup>h</sup> 42 128	11 <sup>h</sup> 43 89	11 <sup>h</sup> 44 64
12 <sup>h</sup> 41 65	12 <sup>h</sup> 42 126	12 <sup>h</sup> 43 88	12 <sup>h</sup> 44 62
15 <sup>h</sup> 41 63	15 <sup>h</sup> 42 118	15 <sup>h</sup> 43 97	15 <sup>h</sup> 44 72
16 <sup>h</sup> 41 63	16 <sup>h</sup> 42 119	16 <sup>h</sup> 43 96	16 <sup>h</sup> 44 68
17 <sup>h</sup> 41 54	17 <sup>h</sup> 42 124	17 <sup>h</sup> 43 96	17 <sup>h</sup> 44 70
15. 9. 7 <sup>h</sup> 41 60	7 <sup>h</sup> 42 dpl.	7 <sup>h</sup> 43 107	7 <sup>h</sup> 44 76
8 <sup>h</sup> 41 64		8 <sup>h</sup> 43 110	8 <sup>h</sup> 44 81
17 <sup>h</sup> 41 81		17 <sup>h</sup> 43 110	17 <sup>h</sup> 44 95
		16. 9. 9 <sup>h</sup> 43 120	
		11 <sup>h</sup> 43 124	
		12 <sup>h</sup> 43 126	
		17. 9. 8 <sup>h</sup> 41 134	
		18. 9. 8 <sup>h</sup> 41 147	
$\Delta G$ 0,0916	$\Delta G$ 0,165	$\Delta G$ 0,0384	$\Delta G$ 0,0908

Die niedrigeren Werte für  $\Delta G$  sind auf die niedrigere Temperatur zurückzuführen. Die Exosmose überdeckt lange die Permea-

bilität. Auch bei einem anderen Versuch vom 9. 10. 1949 bei 18° C lagen die Werte für  $\Delta G$  niedrig, nämlich bei 0,0168; 0,0034; 0,0347. Winterversuche werden noch beschrieben werden.

### Methylharnstoff.

Es war, vom vergleichenden protoplasmatischen Standpunkt aus gesehen, von besonderem Interesse, ob Methylharnstoff rascher oder langsamer als Harnstoff permeieren würde. Der erstere Fall läßt im Sinne der Collander'schen Lipoid-Filter-Theorie auf Lösungspemeation, der letztere Fall auf bevorzugte Porenpermeation schließen. Meine Versuche haben gezeigt, daß Methylharnstoff bedeutend rascher als Harnstoff permeiert. Das geht deutlich aus einem Vergleich der beiden folgenden Parallelversuche hervor.

Am 29. 9. 1949 wurde *Closterium Dianae* aus RMK, um 11 Uhr 44 in 0,8 molaren Methylharnstoff eingetragen. Die Temperatur betrug 15,5 Grad Celsius.

Zelle 1 h 55	Zelle 2 h 53	Zelle 3 h 56	Zelle 4 h 56	Zelle 5 h 54
11 <sup>b</sup> 49 l = 35	11 <sup>b</sup> 50 l = 35	11 <sup>b</sup> 51 l = 40	11 <sup>b</sup> 52 l = 36	11 <sup>b</sup> 53 l = 32
54      41	55      41	56      49	57      45	58      50
59      51	12 <sup>b</sup> 00      47	12 <sup>b</sup> 01      52	12 <sup>b</sup> 02      52	12 <sup>b</sup> 03      50
$\Delta G$ 3,27	$\Delta G$ 1,44	$\Delta G$ 1,83	$\Delta G$ 2,07	$\Delta G$ 4,44

Ein Parallelversuch in 0,8 molarem Harnstoff bei gleicher Temperatur:

Zelle 1 h 58	Zelle 2 h 48	Zelle 3 h 52	Zelle 4 h 57
11 <sup>b</sup> 10 l = 35	11 <sup>b</sup> 11 l = 34	11 <sup>b</sup> 13 l = 35	11 <sup>b</sup> 14 l = 34
15      37	16      34	18      37	19      37
20      38	21      34	23      38	24      39
25      40	26      34	28      40	29      42
30      42	31      35	33      42	34      42
35      42	36      36	38      43	39      43
40      45	41      38	43      43	44      43
$\Delta G$ 0,26	$\Delta G$ 0,42	$\Delta G$ 0,285	$\Delta G$ 0,225

Bei einer Wiederholung des Versuches wurden für *Closterium Dianae* bei 21 Grad Celsius in 0,8 molarem Methylharnstoff die Werte  $\Delta G = 3,45$ ; 2,20; 2,60; und für *Pleurotaenium Ehrenbergii*  $\Delta G = 1,125$  gefunden.

Der Parallelversuch in 0,8 molarem Harnstoff lieferte für *Closterium Dianae* die Werte:  $\Delta G = 0,16$ ; 0,18; 0,28; 0,14.



Das Verhältnis von  $\Delta G$  Harnstoff zu Methylharnstoff beträgt im ersten Versuch 1 : 9, im zweiten 1 : 14.

Sowohl Harnstoff als auch Methylharnstoff permeieren in dem Maß, wie es ihrer Löslichkeit entspricht. Die Harnstoffpermeabilität erscheint nicht gefördert (vgl. Collander 1949), so daß wir es hier mit dem Lösungstyp zu tun haben. Nach Collander und Bärlund (1933) ist die Harnstoffpermeabilität schon bei *Chara* in gewissem Maße gefördert, obwohl sie noch weit hinter der des Methylharnstoffes zurückbleibt.

Am 28. 9. 1949 wurde gemeinsam mit Professor Höfler an *Closterium Dianae* ein Versuch durchgeführt, in dem die Rückdehnung in 0,8 molarem Glycerin, 0,8 molarem Harnstoff und 0,8 molarem Methylharnstoff verglichen wurde. Die Temperatur betrug 18 Grad Celsius.

	$\Delta G$	$\Delta G$	$\Delta G$
Glycerin	0,035	0,09	0,08
Harnstoff	0,275	0,25	—
Methylharnstoff	3,075	1,5	1,05

Setzt man  $G$  von Harnstoff gleich 1, so bekommt man folgendes Verhältnis:

**Harnstoff : Methylharnstoff : Glycerin = 1 : 6,46 : 0,025.**

Die bisher mitgeteilten Versuche zeigen eindeutig, daß Methylharnstoff schneller als Harnstoff und dieser wieder rascher als Glycerin permeiert. Damit können wir die Desmidiaceen als dem Normal-Typ zugehörig bezeichnen. Diese Verallgemeinerung erscheint insofern gestattet, da neben den plasmometrisch meßbaren Arten auch zahlreiche andere nach der Deplasmolysezeitmethode beobachtet wurden. Wir dürfen schon aus den Permeabilitätskonstanten für diese drei Verbindungen annehmen, daß das Plasma der Desmidiaceen dem amidophilen Lösungstyp angehört. Später mitzuteilende Messungen werden diesen Schluß bestätigen.

### **Einige Beobachtungen über die Abhängigkeit der Permeabilität von Licht und Temperatur.**

#### **a) Temperatur.**

Die in der Tabelle S. 295 und 296 zusammengestellten Werte der Harnstoffpermeabilität bei *Closterium Dianae* sind vielfach bei gesteigerter Temperatur erhöht. Einige orientierende Versuche, die eine Erhöhung der Permeabilität durch höhere Temperaturen wahrscheinlich machen, seien hier kurz erwähnt:

*Closterium Dianae* aus RMK. wurde bei 9° C in 0,8 molaren Harnstoff eingelegt und  $\Delta G$  mit:

0,29, 0,35, 0,31, 0,39, 0,20, Mittelwert: 0,31,

bestimmt. Das gleiche Material wurde durch Einstellen in leicht erwärmtes Wasser auf 23° C erwärmt und ergab die Werte:

0,17, 0,80, 0,14, 0,80, 0,61, Mittelwert: 0,50.

Gleiches Material wurde der vollen Sonne ausgesetzt und gleich dem daneben stehenden Plasmolytikum auf 33° C erwärmt. Dabei ergaben sich für  $\Delta G$  die Werte 2,65 und 2,2.

Aus Tabelle S.295 wurden die Durchschnittswerte für  $\Delta G$  bei den verschiedenen Temperaturen bestimmt und  $Q_{10}$  errechnet:

9—15° C	$\Delta G = 0,226$	} $Q_{10} = 2,06$
15—21° C	$\Delta G = 0,439$	
21—27° C	$\Delta G = 0,631$	} $Q_{10} = 2,68$
27—33° C	$\Delta G = 1,725$	

#### b) Licht.

Es war von vornherein anzunehmen, daß die Temperatur nicht der einzige die Permeabilität beeinflussende Faktor sei. Bei konstanter Temperatur wurden die Permeabilitätswerte bei *Cl. Dianae* in verschiedener Belichtung orientierend untersucht.

*Closterium Dianae*, das 24 Stunden verdunkelt gehalten worden war, wurde in 0,8 molaren Harnstoff eingebettet.  $\Delta G$  betrug bei 16° C:

0,06, 0,11, 0,14, 0,08, 0,22, Mittelwert: 0,12.

Belichtetes gleiches Material ergab bei gleicher Temperatur für  $\Delta G$  die Werte:

1,05, 0,795, 1,515, 0,405, 0,99, Mittelwert: 0,95.

Bei mäßiger Belichtung an einem trüben Regentag wurden bei 16° C die Werte:

1,14, 0,13, 0,54, 0,66, 0,47, Mittelwert: 0,59,

gemessen.

Aus diesen wenigen Versuchen, denen ich freilich bloß orientierenden Wert beimessen kann, geht der Einfluß von Licht und Temperatur auf die Permeabilität klar hervor. Es zeigt sich deutlich, daß sowohl verstärkte Belichtung als auch erhöhte Temperatur die Permeabilität fördern. — Doch bleibt dieses Gebiet noch im einzelnen zu bearbeiten.

### Winterversuche aus Wien.

Alle Proben wurden in Wien in gleicher Weise, wie es Höfler schon seit Jahren praktiziert hat, im Pflanzenphysiologischen Institut in Kultur genommen. Die Gläschen wurden teils an Nordfenstern, teils an Ostfenstern und zu einem Teil in durchströmten Wasserbecken gehalten. Die Desmidiaceen befanden sich in so gutem Zustande, daß bei verschiedenen Arten Teilungen zu beobachten waren (vgl. Kapitel 1). Bei *Pleurotaenium Ehrenbergii* habe ich vereinzelt, dreimal im ganzen, Teilung beobachtet, bei *Closterien* nie.

Die Permeabilität für Harnstoff und Glycerin ist im Sommer und Winter ziemlich gleich. Wenn doch kleine Unterschiede vorliegen, waren sie an meinem Material so gering, daß sie völlig ausreichend mit Temperatur- und Belichtungsänderungen verständlich gemacht werden können.

Als Beispiel für die winterliche Permeabilität bei *Pleurotaenium Ehrenbergii* sei ein Versuch vom 7. 2. 1950 bei 16 Grad Celsius angeführt.

Die Zellen wurden um 11 Uhr 52 in 0,8 molaren Harnstoff eingelegt.

Zelle 1	Zelle 2	Zelle 3	Zelle 4	Zelle 5
h 137	h 131	h 103	h 106	h 130
12 <sup>h</sup> 06 l=125	12 <sup>h</sup> 07 l=116	12 <sup>h</sup> 08 l=84	12 <sup>h</sup> 09 l=90	12 <sup>h</sup> 10 l=116
11 127	12 121	13 89	14 95	15 121
16 130	17 126	18 93	19 101	20 125
21 132	22 129	23 98	24 104	25 128
26 135	27 dpl.	28 101	29 dpl.	30 129
31 dpl.		33 102		35 dpl.
		38 dpl.		
Δ G 0,219	Δ G 0,397	Δ G 0,495	Δ G 0,528	Δ G 0,30

Am 8. 2. 1950 wurde *Closterium Dianae* bei gleicher Temperatur um 10 Uhr 24 in 0,8 molaren Harnstoff eingelegt.

Zelle 1	Zelle 2	Zelle 3	Zelle 4	Zelle 5
h 50	h 54	h 61	h 51	h 51
10 <sup>h</sup> 28 l=24	10 <sup>h</sup> 29 l=34	10 <sup>h</sup> 30 l=43	10 <sup>h</sup> 31 l=33	10 <sup>h</sup> 32 l=32
33 26	34 35	35 44	36 35	37 35
38 27	39 36	40 46	41 38	42 39
43 28	44 38	45 49	46 41	47 43
48 30	49 39	50 52	51 44	52 dpl.
53 32	54 41	55 54	56 47	
58 34	59 43	11 <sup>h</sup> 00 dpl.	11 <sup>h</sup> 01 dpl.	
11 <sup>h</sup> 03 36	11 <sup>h</sup> 04 44			
Δ G 0,19	Δ G 0,24	Δ G 0,465	Δ G 0,63	Δ G 0,57

Durch Sonnenbestrahlung wurde das gleiche Material auf 22 Grad Celsius erwärmt. *Closterium Dianae* wurde um 12 Uhr 21 in 0,8 molaren Harnstoff eingelegt.

Zelle 1		Zelle 2		Zelle 3	
h 50		h 52		h 57	
12 <sup>b</sup> 25	1 = 38	12 <sup>b</sup> 26	1 = 46	12 <sup>b</sup> 28	1 = 46
30	45	31	48	33	53
35	dpl.	36	51	38	dpl.
$\Delta G$ 2,64		$\Delta G$ 1,32		$\Delta G$ 2,88	

*Pleurotaenium Ehrenbergii* wurde um 12 Uhr 45 in 0,8 molaren Harnstoff eingelegt, gleichfalls nach halbstündiger Sonnenbestrahlung und Erwärmung auf 22 Grad Celsius.

Zelle 1		Zelle 2		Zelle 3		Zelle 4		Zelle 5	
h 130		h 122		h 131		h 112		h 106	
12 <sup>b</sup> 49	1 = 124	12 <sup>b</sup> 50	1 = 106	12 <sup>b</sup> 51	1 = 113	12 <sup>b</sup> 52	1 = 91	12 <sup>b</sup> 53	1 = 98
54	127	55	110	56	115	57	96	58	103
59	dpl.	13 <sup>b</sup> 00	115	13 <sup>b</sup> 01	122	13 <sup>b</sup> 02	102		
		05	dpl.						
$\Delta G$ 0,276		$\Delta G$ 0,442		$\Delta G$ 0,412		$\Delta G$ 0,589		$\Delta G$ 0,566	

Ich erhielt im Februar 1950 schönes Desmidiaceenmaterial, das Dozent Schindler bei einer winterlichen Fahrt in die Ramsau im R.T. gesammelt hatte (vgl. Cholnoky-Schindler 1951). Es wurde in die Messung einbezogen, die ähnliche Ergebnisse wie das von mir seit Herbst kultivierte Material lieferte. Die mit \*\* in der Tabelle, die die Gesamtübersicht über alle Versuche zeigt, bezeichneten Ergebnisse, beziehen sich auf dieses Material.

*Pleurotaenium Ehrenbergii* in 0,8 molarem Harnstoff:

Datum	Temp.	Einzelresultate für $\Delta G$					Mittelwert
7. 2. 50	16° C	0,219	0,397	0,495	0,528	0,3	$\Delta G = 0,388$
8. 2. 50	22° C	0,276	0,442	0,412	0,589	0,566	0,457
23. 2. 50	16° C	0,323	1,017	0,595			0,645
23. 2. 50	16° C	0,008	0,007				0,008
25. 2. 50	18° C	0,801					0,801
**25. 2. 50	18° C	0,820	0,710	0,508	0,412	0,694	0,473
**25. 2. 50	19° C	0,365	0,413				0,388
26. 2. 50	20° C	0,486	0,496	0,709			0,564
27. 2. 50	17° C	0,419	0,210				0,315
1. 3. 50	19° C	0,381	0,336	0,457			0,391
1. 3. 50	19° C	0,443	0,449	0,950	0,394	0,274	0,483

*Closterium Dianae* in 0,8 molarem Harnstoff:

Datum	Temp.	Einzelresultate für $\Delta G$					Mittelwert
8. 2. 50	16° C	0,19	0,24	0,465	0,63	0,57	0,419
8. 2. 50	22° C	2,64	1,32	2,88			2,28

*Closterium Dianae* in 0,8 molarem Glycerin:

9. 2. 50	18° C	0,065	0,06	0,03			0,052
----------	-------	-------	------	------	--	--	-------

*Pleurotaenium Ehrenbergii* in 0,8 molarem Glycerin:

9. 2. 50	15° C	0,0201	0,0046	0,003	0,0016		0,0073
**15. 2. 50	18° C	0,0048	0,0026				0,0037

### Abhängigkeit der Harnstoff- und Glycerinpermeabilität von der Wasserstoffionenkonzentration.

Die Abhängigkeit der Harnstoff- und Glycerinpermeabilität von dem  $p_H$ -Wert wurde an *Closterium Dianae* untersucht. Zunächst wurden die Zellen eine Stunde lang in einer Lösung gewässert, die aus 9 Teilen Moorwasser und einem Teil Stammpuffer bestand, also den Puffer in der üblichen Verdünnung von 1/150 n enthielt. Die Algen wurden mit der Pipette mit dem Moorwasser aufgesaugt und auf den Objektträger gebracht, wo mit Filtrierpapier abgesaugt wurde. Nach Zusetzen einer Lösung aus 9 Teilen 0,9 molarem Harnstoff (in  $H_2O$ ) und einem Teil Stammpuffer begann die Messung.

Die Puffer waren die üblichen Phosphatpuffer, die aus n/10 HCl, primärem und tertiärem Phosphat bestanden.

	n/10 HCl	I	III
$p_H$ 3,1	1	9	—
$p_H$ 4,8	—	10	—
$p_H$ 7,1	—	7	3
$p_H$ 10,1	—	4	6

Der Versuch vom 15. 9. 1949, bei rund 18 Grad Celsius durchgeführt, ergab folgende Werte für  $\Delta G$ , die in Harnstoff bestimmt wurden:

$p_H$	$\Delta G$					Mittelwert
3,1	0,042	0,06	0,025	0,023	0,025	$\Delta G = 0,035$
4,8	0,305	0,1	0,15	0,105	0,115	0,155
7,1	0,32	0,49	0,36	0,57	0,25	0,398
10,1	0,335	0,73	0,56	0,35	0,99	0,615
11	0,15	0,16	0,14	0,27	0,09	0,162
Harnstoff	0,8	0,11	0,15	0,21	0,25	0,15
						0,174

Die Wiederholung des Versuches am 5. 10. 1949 ergab dann aber keine Erhöhung der Permeationsgeschwindigkeit nach der alkalischen Seite hin:

pH	$\Delta G$					Mittelwert
3,1	0,46	0,14	0,675			$\Delta G = 0,425$
4,8	0,26	0,19	0,225	0,09		0,153
7,1	0,51	0,84	0,78	0,34		0,617
10,1	0,15	0,23	0,16	0,27	0,12	0,186
11	0,455	0,25	0,22	0,505		0,357

Der Versuch vom 21. 9. 1949 mit Glycerin bei 21° C ließ ebenfalls keine Abhängigkeit vom pH-Wert erkennen:

pH	$\Delta G$					Mittelwert
3,1	0,375	0,255	0,54	0,78	0,24	$\Delta G = 0,438$
4,8	0,345	0,465	0,27	0,945	0,3	0,465 0,465
7,1	0,28	0,155	0,525	0,390	0,340	0,338
10,1	0,57	0,465	0,93	0,135	0,135	0,555
Glycerin	0,35	0,185	0,345	0,4	0,415	0,339

Ein Parallelversuch Harnstoff-Glycerin in pH 3,1 und pH 10,1 brachte folgende Resultate:

		$\Delta G$				Mittelwert
pH 3,1	Harnstoff	0,73	0,42	0,14		$\Delta G = 0,43$
	Glycerin	0,02	0,02	0,11	0,04	0,047
pH 10,1	Harnstoff	0,54	0,48	1,32	2,40	1,185
	Glycerin	0,74	0,11	0,24	0,85	0,485
Harnstoff		1,035	1,08	1,14	1,74	0,65 1,128
Glycerin		0,32	0,15	0,26	0,7	0,21 0,34

Die Wiederholung dieses Versuches ließ dagegen wieder keine gesetzmäßige Abhängigkeit der Harnstoff- und Glycerinpermeabilität von der Wasserstoffionenkonzentration erkennen.

		$\Delta G$				Mittelwert
pH 3,1	Harnstoff	0,435	0,7	0,431	0,56	0,14 $\Delta G = 0,453$
	Glycerin	0,23	0,06	0,05		0,113
pH 10,1	Harnstoff	0,73	0,5	0,46	0,58	0,35 0,524
	Glycerin	0,07	0,04	0,02	0,11	0,08 0,064

Bei kritischer Betrachtung der Ergebnisse kann nicht von einer gesetzmäßigen Abhängigkeit der Harnstoff- und Glycerinpermeabilität vom pH-Wert gesprochen werden. Der erste Versuch

läßt zwar den Eindruck aufkommen, daß die Permeationsgeschwindigkeit vom sauren zum alkalischen Bereich hin, das ist von  $p_H$  3,1 bis  $p_H$  10,1, mäßig zunimmt, jedoch andere Versuchsreihen konnten dieses Ergebnis nicht bestätigen. Vielleicht ist hier der Versuchsausfall auf noch nicht erfassbare Faktoren zurückzuführen, und es wäre an größerem Versuchsmaterial bei statistischer Auswertung doch eine Gesetzmäßigkeit zu finden.

Als Rottenburg 1943 die Abhängigkeit der Harnstoff- und Glycerinpermeabilität von der Wasserstoffionenkonzentration an mehreren Objekten untersuchte, fand sie an Gewebszellen von *Majanthemum bifolium*, *Tradescantia elongata*, *Muscari racemosum*, *Taraxacum officinale* und *Lamium purpureum* einen klaren Anstieg der Permeabilität von der sauren zur alkalischen Seite, während bei Objekten vom rapiden Harnstoff-Typ, wie *Campanula trachelium* und *Gentiana austriaca*, bei denen die „Porenpermeabilität“ vorherrscht, keine solche Erhöhung im alkalischen Bereich zu beobachten war; bei der einzig untersuchten Alge *Zygnema* fand Rottenburg keine faßbare Einwirkung der Wasserstoffionenkonzentration auf die Harnstoff- und Glycerinpermeabilität. Die Permeationswerte streuten bei den verschiedenen  $p_H$ -Werten über einen ungefähr gleich weiten Bereich.

Es ist sehr wahrscheinlich, daß hier ein Zusammenhang mit der Dicke des Plasmalemmas besteht. Durch Plasmolyse mit Natriumkarbonat hat Höfler 1951 in eingehenden Versuchen gezeigt, daß die Desmidiaceen gegen dieses sonst so schädigende Plasmolytikum weitgehend resistent sind, was auf ein besonders starkes Abschließen des Plasmalemmas zurückzuführen ist. Wahrscheinlich ist die Ausbildung des Plasmalemmas auch die Ursache für die, wenn überhaupt vorhandene, so doch recht geringe Abhängigkeit der Harnstoff- und Glycerinpermeabilität von der Wasserstoffionenkonzentration.

## B. Plasmolyseverlauf in langsam permeierenden Lösungen

(Traubenzucker, Malonamid und Erythrit).

Zur Charakterisierung des Plasmas und Erfassung der Permeabilitätsreihen ist außer der Kenntnis der Permeationsgeschwindigkeit von Harnstoff, Methylharnstoff und Glycerin auch die Bestimmung des Permeiervermögens von Zucker, Malonamid und Erythrit nötig. Wie kennzeichnend für das Plasma die Durchlässigkeit gerade für diese Stoffe ist, haben die Arbeiten von

Marklund 1936, Elo 1937, Höfler 1940 an Diatomeen deutlich gezeigt.

Der vorgezeichnete Weg war also, den Verlauf der Volumsausdehnung der Protoplasten in unschädlichen Plasmolyticiis, wie z. B. Traubenzucker, durch mehrere Tage hin zu verfolgen, um die Amplitude dieser Volumsschwankungen kennenzulernen, und dann auf Grund des Materials die Interpretation der Kurven zu versuchen.

Ist das osmotische Gleichgewicht zwischen Zellsaft und plasmolysierender Außenlösung erreicht, so bewirkt ja nicht nur die Permeation des Zuckers eine Ausdehnung des Protoplasten, sondern zugleich die Exosmose von osmotisch wirksamen Zellsaftstoffen eine Verkleinerung desselben. Außerdem könnten eventuelle chemische Umsetzungen in der Zelle Erhöhung oder Verringerung des osmotischen Wertes, also Volumsschwankungen beiderlei Sinnes, bewirken. Aus der Physiologie der Gewebszellen höherer Pflanzen sind die mit „Anatonose“ verbundenen Umsetzungen von Zucker in organische Säuren am besten bekannt.

#### Traubenzuckerpermeabilität.

Nachdem im Juli 1949 zahlreiche Versuche an *Closterium striolatum* und *Closterium angustatum* angestellt worden waren, arbeitete ich im Sommer 1950 mit *Pleurotaenium Ehrenbergii*, an dem exakte Volumsmessungen der Protoplasten durchführbar sind. *Closterium striolatum* ist für genaue Messungen ungeeignet, weil die Fehler bei der Volumsbestimmung durch die seitliche Abhebung des Protoplasten von der Zellwand zu groß sind (vgl. Krebs 1951, S. 607).

Am 14. Juli 1950 wurde *Pleurotaenium Ehrenbergii*, das bei schönem Wetter tags zuvor im RMK. frisch gesammelt worden war, in 0,5 molaren Traubenzucker eingeschlossen und das Präparat an einem hellen, aber vor Sonne geschützten Platz aufbewahrt. Die Versuchslösung war aus der mit aqua bidestillata zubereiteten Stammlösung mit Standortswasser verdünnt worden, so daß sie die einmolare Stammlösung in halber Konzentration enthielt. Die Protoplasten wurden zweimal täglich gemessen und dabei auch immer die Temperatur notiert. Die Temperaturschwankungen während der vieltägigen Versuchsdauer mußten in Kauf genommen werden. Die Temperaturen zur Zeit der Messungen sind in den Kurvendigrammen angegeben. Die Änderung der Plasmolysegrade läßt sich anschaulich in Kurvenform darstellen (Abb. 3). In der Tabelle 1 und 2 sind die jeweiligen Längen



der Protoplasten und die Plasmolysegrade angegeben. Für die Zeit, in der die Kurven steil ansteigen, wurde  $\Delta G$  mit:

0,0031	0,0059	0,0041	0,0055	0,0042	0,0067	0,0026
0,0039	0,0045	0,0012	0,0062	0,0043	0,0043	0,0052
0,0035	0,0038	0,0086	0,0024			

berechnet. Der Mittelwert betrug  $\Delta G = 0,00444$ .

Am 4. September 1950 wurde *Pleurotaenium Ehrenbergii* vom gleichen Standort, ebenfalls frisch gesammelt, in 0,5molaren Traubenzucker eingeschlossen; siehe Tabelle 3 und 4 und Kurve Abb. 4.

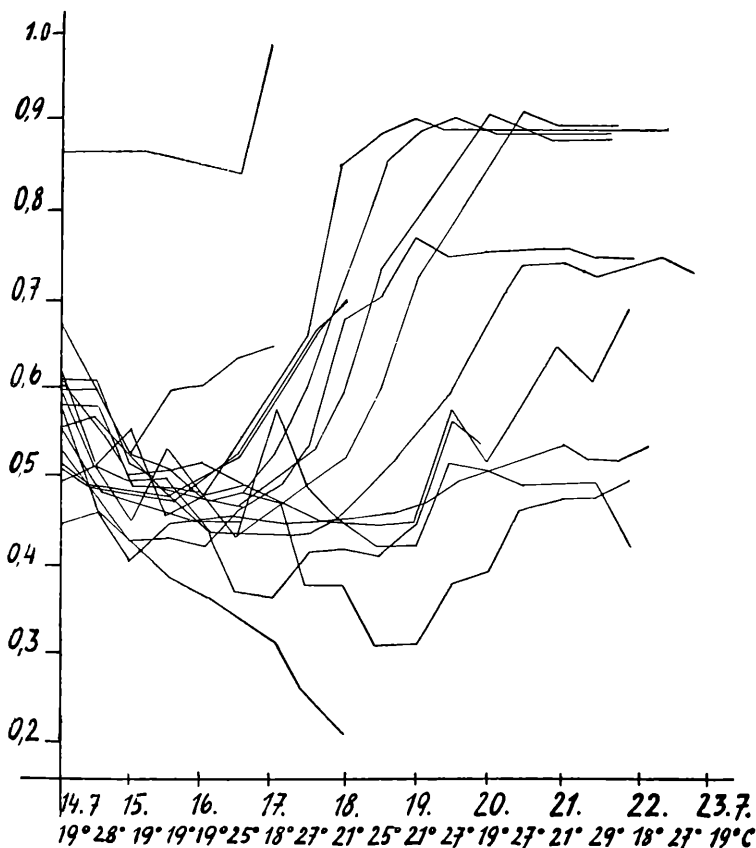


Abb. 3. *Pleurotaenium Ehrenbergii* in 0,5 mol Traubenzucker.

*Pleurotaenium Ehrenbergii* in 0,5 mol Traubenzucker.

Ta-

Zeit	Zelle 1	Zelle 2	Zelle 3	Zelle 4	Zelle 5
	h 124	h 134	h 169	h 175	h 124
	l G	l G	l G	l G	l G
14. 7. 9h 35— 9h 55	68 ,54 <sub>3</sub>	84 ,62 <sub>6</sub>	98 ,58 <sub>0</sub>	98 ,56 <sub>0</sub>	67 ,45 <sub>0</sub>
17h 35—17h 55	61 ,49 <sub>3</sub>	68 ,50 <sub>8</sub>	98 ,58 <sub>0</sub>	100 ,57 <sub>2</sub>	57 ,46 <sub>0</sub>
15. 7. 9h 35— 9h 55	60 ,48 <sub>4</sub>	66 ,49 <sub>3</sub>	84 ,49 <sub>7</sub>	92 ,52 <sub>4</sub>	51 ,41 <sub>0</sub>
17h 35—17h 55	58 ,46 <sub>8</sub>	67 ,50 <sub>0</sub>	83 ,49 <sub>1</sub>	90 ,51 <sub>4</sub>	48 ,38 <sub>7</sub>
16. 7. 9h 35— 9h 55	55 ,44 <sub>4</sub>	70 ,52 <sub>3</sub>	77 ,45 <sub>6</sub>	84 ,48 <sub>0</sub>	65 ,36 <sub>3</sub>
17h 35—17h 55	46 ,37 <sub>1</sub>	66 ,49 <sub>3</sub>	77 ,45 <sub>6</sub>	86 ,49 <sub>1</sub>	36 ,34 <sub>2</sub>
17. 7. 9h 35— 9h 55	45 ,36 <sub>3</sub>	63 ,47 <sub>0</sub>	80 ,57 <sub>3</sub>	83 ,47 <sub>4</sub>	34 ,31 <sub>2</sub>
17h 35—17h 55	51 ,41 <sub>1</sub>	51 ,38 <sub>1</sub>	83 ,49 <sub>1</sub>	80 ,45 <sub>7</sub>	30 ,26 <sub>0</sub>
18. 7. 9h 35— 9h 55	52 ,41 <sub>9</sub>	51 ,38 <sub>1</sub>	77 ,45 <sub>6</sub>	80 ,45 <sub>7</sub>	26 ,21 <sub>3</sub>
17h 35—17h 55	51 ,41 <sub>1</sub>	41 ,30 <sub>6</sub>	71 ,42 <sub>0</sub>	79 ,45 <sub>1</sub>	
19. 7. 9h 35— 9h 55	55 ,44 <sub>4</sub>	42 ,31 <sub>3</sub>	72 ,42 <sub>6</sub>	80 ,45 <sub>7</sub>	
17h 35—17h 55	71 ,57 <sub>3</sub>	51 ,38 <sub>0</sub>	87 ,51 <sub>5</sub>	98 ,56 <sub>0</sub>	
20. 7. 9h 35— 9h 55	65 ,52 <sub>4</sub>	53 ,39 <sub>6</sub>	85 ,50 <sub>3</sub>	93 ,53 <sub>2</sub>	
17h 35—17h 55	73 ,58 <sub>9</sub>	62 ,46 <sub>3</sub>	73 ,43 <sub>2</sub>	92 ,52 <sub>6</sub>	
21. 7. 9h 35— 9h 55	80 ,64 <sub>5</sub>	64 ,47 <sub>8</sub>	77 ,45 <sub>6</sub>	94 ,53 <sub>7</sub>	
17h 35—17h 55	76 ,61 <sub>3</sub>	64 ,47 <sub>8</sub>	73 ,43 <sub>2</sub>	92 ,52 <sub>0</sub>	
23. 7. 9h 35— 9h 55	85 ,68 <sub>6</sub>	67 ,50 <sub>0</sub>	73 ,43 <sub>2</sub>	91 ,52 <sub>0</sub>	
17h 35—17h 55		61 ,45 <sub>5</sub>	71 ,42 <sub>0</sub>	93 ,53 <sub>2</sub>	

Tabelle 1.

1 Teilstrich entspricht 3,3  $\mu$ .

Zelle 6		Zelle 7		Zelle 8		Zelle 9		Zelle 10		Temperatur
h 137		h 129		h134		h 128		h 126		
l G		l G		l G		l G		l G		
73 ,53 <sub>4</sub>	72 ,55 <sub>9</sub>	83 ,62 <sub>0</sub>	68 ,53 <sub>1</sub>	70 ,55 <sub>8</sub>	19° C					
65 ,47 <sub>5</sub>	61 ,47 <sub>3</sub>	74 ,55 <sub>2</sub>	60 ,46 <sub>0</sub>	66 ,52 <sub>4</sub>	28° C					
60 ,43 <sub>8</sub>	55 ,42 <sub>7</sub>	71 ,53 <sub>0</sub>	57 ,44 <sub>5</sub>	60 ,47 <sub>7</sub>	19° C					
58 ,42 <sub>4</sub>	52 ,40 <sub>1</sub>	73 ,54 <sub>3</sub>	52 ,40 <sub>7</sub>	56 ,44 <sub>4</sub>	19° C					
57 ,41 <sub>6</sub>	52 ,40 <sub>4</sub>	62 ,46 <sub>3</sub>	56 ,43 <sub>8</sub>	58 ,46 <sub>0</sub>	19° C					
56 ,40 <sub>9</sub>	53 ,41 <sub>1</sub>	65 ,48 <sub>5</sub>	56 ,43 <sub>8</sub>	58 ,46 <sub>0</sub>	25° C					
57 ,41 <sub>6</sub>	53 ,41 <sub>1</sub>	66 ,49 <sub>3</sub>	56 ,43 <sub>8</sub>	56 ,44 <sub>4</sub>	18° C					
54 ,39 <sub>4</sub>	52 ,40 <sub>4</sub>	61 ,45 <sub>5</sub>	53 ,41 <sub>4</sub>	55 ,43 <sub>6</sub>	27° C					
56 ,40 <sub>9</sub>	64 ,49 <sub>7</sub>	63 ,47 <sub>0</sub>	57 ,44 <sub>6</sub>	66 ,52 <sub>4</sub>	21° C					
55 ,40 <sub>7</sub>	63 ,48 <sub>9</sub>	60 ,44 <sub>8</sub>	54 ,42 <sub>2</sub>	62 ,49 <sub>2</sub>	25° C					
56 ,40 <sub>9</sub>	58 ,45 <sub>0</sub>	58 ,43 <sub>3</sub>	56 ,43 <sub>8</sub>	68 ,54 <sub>0</sub>	21° C					
64 ,46 <sub>7</sub>	71 ,55 <sub>0</sub>	51 ,38 <sub>1</sub>	71 ,55 <sub>5</sub>	71 ,56 <sub>4</sub>	27° C					
69 ,50 <sub>4</sub>	66 ,51 <sub>2</sub>	60 ,44 <sub>8</sub>	65 ,50 <sub>8</sub>	69 ,54 <sub>8</sub>	19° C					
69 ,50 <sub>4</sub>	67 ,52 <sub>0</sub>	52 ,38 <sub>8</sub>	62 ,48 <sub>4</sub>	66 ,52 <sub>4</sub>	27° C					
68 ,49 <sub>7</sub>	62 ,48 <sub>1</sub>	53 ,39 <sub>5</sub>	58 ,45 <sub>2</sub>	55 ,43 <sub>6</sub>	21° C					
68 ,49 <sub>7</sub>	61 ,47 <sub>3</sub>	51 ,38 <sub>1</sub>	55 ,43 <sub>0</sub>	59 ,46 <sub>8</sub>	29° C					
72 ,52 <sub>6</sub>	63 ,48 <sub>9</sub>	52 ,38 <sub>8</sub>	53 ,41 <sub>4</sub>	59 ,46 <sub>8</sub>	18° C					
72 ,52 <sub>6</sub>	63 ,48 <sub>9</sub>	51 ,38 <sub>1</sub>	53 ,41 <sub>4</sub>	60 ,47 <sub>7</sub>	27° C					

*Pleurotaenium Ehrenbergii* in 0,5 mol Traubenzucker.

Ta-

Zeit	Zelle 1	Zelle 2	Zelle 3	Zelle 4	Zelle 5
	h 113	h 142	h 166	h 129	h 157
	l G	l G	l G	l G	l G
14. 7. 9h 15— 9h 35 17h 15—17h 35	87 ,76 <sub>8</sub> 98 ,86 <sub>6</sub>	96 ,67 <sub>2</sub> 85 ,59 <sub>5</sub>	101 ,61 <sub>0</sub> 83 ,50 <sub>0</sub>	68 ,52 <sub>7</sub> 62 ,48 <sub>1</sub>	95 ,60 <sub>5</sub> 95 ,60 <sub>5</sub>
15. 7. 9h 15— 9h 35 17h 15—17h 35	99 ,87 <sub>6</sub> 97 ,85 <sub>8</sub>	75 ,52 <sub>5</sub> 85 ,59 <sub>5</sub>	83 ,50 <sub>5</sub> 73 ,44 <sub>0</sub>	56 ,43 <sub>4</sub> 55 ,43 <sub>4</sub>	80 ,51 <sub>0</sub> 77 ,49 <sub>0</sub>
16. 7. 9h 15— 9h 35 17h 15—17h 35	96 ,85 <sub>0</sub> 95 ,84 <sub>2</sub>	87 ,60 <sub>1</sub> 91 ,63 <sub>6</sub>	73 ,44 <sub>0</sub> 72 ,43 <sub>4</sub>	56 ,42 <sub>6</sub> 59 ,43 <sub>4</sub>	75 ,47 <sub>8</sub> 72 ,45 <sub>9</sub>
17. 7. 9h 15— 9h 35 17h 15—17h 35	108 ,98 <sub>0</sub>	92 ,64 <sub>4</sub>	77 ,43 <sub>7</sub> 76 ,45 <sub>8</sub>	62 ,45 <sub>7</sub> 68 ,48 <sub>1</sub>	77 ,49 <sub>0</sub> 82 ,52 <sub>3</sub>
18. 7. 9h 15— 9h 35 17h 15—17h 35			83 ,50 <sub>5</sub> 90 ,54 <sub>3</sub>	87 ,52 <sub>7</sub> 91 ,67 <sub>5</sub>	94 ,59 <sub>9</sub> 114 ,72 <sub>6</sub>
19. 7. 9h 15— 9h 35 17h 15—17h 35			99 ,59 <sub>7</sub> 110 ,67 <sub>0</sub>	100 ,70 <sub>6</sub> 97 ,77 <sub>6</sub>	124 ,78 <sub>9</sub> 134 ,85 <sub>2</sub>
20. 7. 9h 15— 9h 35 17h 15—17h 35			121 ,73 <sub>5</sub> 122 ,73 <sub>7</sub>	98 ,76 <sub>6</sub> 98 ,76 <sub>0</sub>	143 ,91 <sub>0</sub> 141 ,89 <sub>8</sub>
21. 7. 9h 15— 9h 35 17h 15—17h 35			120 ,72 <sub>5</sub> 122 ,73 <sub>7</sub>	98 ,76 <sub>0</sub> 97 ,75 <sub>3</sub>	140 ,89 <sub>1</sub> 140 ,89 <sub>1</sub>
23. 7. 9h 15— 9h 35 17h 15—17h 35			124 ,74 <sub>9</sub> 121 ,73 <sub>5</sub>	97 ,75 <sub>3</sub> 96 ,74 <sub>8</sub>	140 ,89 <sub>1</sub> 141 ,89 <sub>3</sub>

belle 2.

1 Teilstrich entspricht 3,3  $\mu$ .

Zelle 6	Zelle 7	Zelle 8	Zelle 9	Zelle 10	Temperatur
h 123	h 171	h 183	h 117	h 154	
l G	l G	l G	l G	l G	
63 ,51 <sub>2</sub>	102 ,59 <sub>6</sub>	100 ,57 <sub>9</sub>	52 ,44 <sub>4</sub>	86 ,55 <sub>8</sub>	19° C
60 ,48 <sub>8</sub>	88 ,51 <sub>4</sub>	84 ,45 <sub>9</sub>	48 ,41 <sub>0</sub>	79 ,51 <sub>3</sub>	28° C
59 ,48 <sub>0</sub>	76 ,44 <sub>4</sub>	75 ,41 <sub>0</sub>	50 ,42 <sub>7</sub>	72 ,46 <sub>7</sub>	19° C
58 ,47 <sub>3</sub>	74 ,53 <sub>3</sub>	81 ,44 <sub>3</sub>	50 ,42 <sub>7</sub>	70 ,45 <sub>4</sub>	19° C
62 ,50 <sub>4</sub>	78 ,45 <sub>6</sub>	82 ,44 <sub>8</sub>	49 ,41 <sub>9</sub>	71 ,46 <sub>1</sub>	19° C
64 ,62 <sub>0</sub>	82 ,48 <sub>0</sub>	82 ,44 <sub>8</sub>		69 ,44 <sub>8</sub>	25° C
73 ,59 <sub>4</sub>	90 ,52 <sub>6</sub>	85 ,46 <sub>4</sub>		68 ,44 <sub>8</sub>	18° C
80 ,65 <sub>0</sub>	103 ,60 <sub>1</sub>	81 ,44 <sub>2</sub>		66 ,42 <sub>7</sub>	27° C
86 ,69 <sub>9</sub>	113 ,66 <sub>0</sub>	84 ,45 <sub>9</sub>		69 ,44 <sub>8</sub>	21° C
	146 ,85 <sub>2</sub>	83 ,45 <sub>3</sub>		69 ,44 <sub>8</sub>	25° C
	152 ,88 <sub>8</sub>	85 ,46 <sub>1</sub>		70 ,45 <sub>1</sub>	21° C
	155 ,90 <sub>4</sub>	90 ,49 <sub>2</sub>		92 ,59 <sub>7</sub>	27° C
	153 ,89 <sub>4</sub>	92 ,50 <sub>3</sub>		92 ,59 <sub>7</sub>	19° C
	153 ,89 <sub>4</sub>	90 ,49 <sub>2</sub>		93 ,60 <sub>4</sub>	27° C
	152 ,88 <sub>8</sub>	90 ,49 <sub>2</sub>		93 ,60 <sub>1</sub>	21° C
	152 ,88 <sub>8</sub>	90 ,49 <sub>2</sub>		93 ,60 <sub>4</sub>	29° C
	152 ,88 <sub>8</sub>	77 ,42 <sub>1</sub>		92 ,59 <sub>7</sub>	18° C
		77 ,42 <sub>1</sub>		92 ,59 <sub>7</sub>	27° C

*Pleurotaenium Ehrenbergii* in 0,5 mol Traubenzucker.

T a -

Zeit	Zelle 1	Zelle 2	Zelle 3	Zelle 4
	h 167	h 179	h 179	h 138
	l G	l G	l G	l G
5. 9. 8h 50 – 9h 30 16h 50–17h 30	120 ,68 <sub>1</sub> 123 ,69 <sub>8</sub>	113 ,62 <sub>8</sub> 99 ,55 <sub>3</sub>	122 ,67 <sub>8</sub> 113 ,62 <sub>8</sub>	85 ,61 <sub>6</sub> 86 ,62 <sub>4</sub>
6. 9. 8h 50– 9h 30 16h 50–17h 30	118 ,67 <sub>0</sub> 120 ,68 <sub>1</sub>	87 ,48 <sub>6</sub> 88 ,49 <sub>2</sub>	107 ,59 <sub>5</sub> 114 ,63 <sub>4</sub>	73 ,52 <sub>0</sub> 78 ,56 <sub>5</sub>
7. 9. 8h 50– 9h 30 16h 50–17h 30	126 ,71 <sub>6</sub> 131 ,74 <sub>4</sub>	95 ,53 <sub>1</sub>		83 ,60 <sub>2</sub> 83 ,60 <sub>2</sub>
8. 9. 8h 50– 9h 30 16h 50 17h 30	136 ,77 <sub>2</sub> 143 ,81 <sub>2</sub>			91 ,66 <sub>0</sub> 76 ,55 <sub>1</sub>
9. 9. 8h 50– 9h 30 16h 50–17h 30	143 ,81 <sub>2</sub>			
10. 9. 8h 50– 9h 30				

*Pleurotaenium Ehrenbergii* in 0,5 mol Traubenzucker.

T a -

Zeit	Zelle 1	Zelle 2	Zelle 3	Zelle 4
	h 176	h 188	h 170	h 167
	l G	l G	l G	l G
5. 9. 8h 50– 9h 30 16h 50–17h 30	137 ,78 <sub>0</sub> 138 ,78 <sub>4</sub>	121 ,64 <sub>7</sub> 117 ,62 <sub>4</sub>	121 ,71 <sub>4</sub> 120 ,70 <sub>6</sub>	61 ,36 <sub>5</sub> 61 ,36 <sub>5</sub>
6. 9. 8h 50– 9h 30 16h 50–17h 30	138 ,78 <sub>4</sub> 139 ,79 <sub>0</sub>	112 ,59 <sub>6</sub> 111 ,59 <sub>0</sub>	120 ,70 <sub>6</sub> 130 ,76 <sub>4</sub>	58 ,34 <sub>7</sub> 63 ,37 <sub>7</sub>
7. 9. 8h 50– 9h 30 16 50–17h 30	148 ,84 <sub>1</sub> 149 ,85 <sub>1</sub>		133 ,78 <sub>4</sub> 125 ,73 <sub>5</sub>	69 ,41 <sub>3</sub> 70 ,41 <sub>9</sub>
8. 9. 8h 50– 9h 30 16h 50–17h 30	152 ,86 <sub>4</sub> 158 ,90 <sub>0</sub>			74 ,44 <sub>3</sub> 73 ,43 <sub>7</sub>
9. 9. 8h 50– 9h 30				

belle 3.

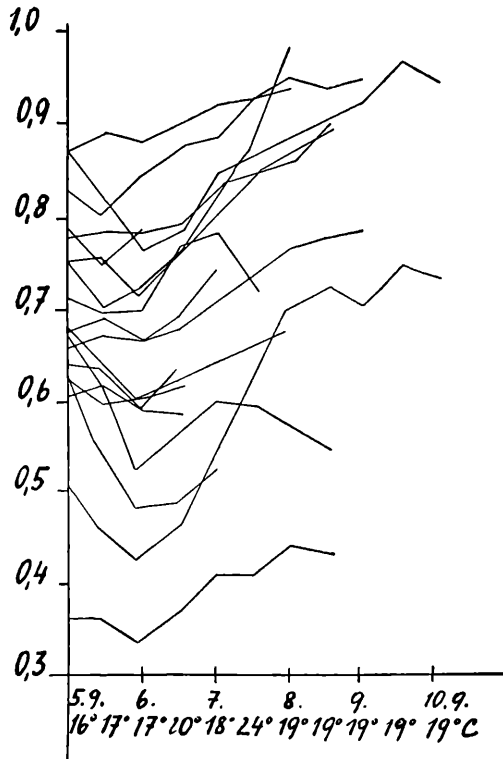
1 Teilstrich entspricht 3,3  $\mu$ .

Zelle 5	Zelle 6	Zelle 7	Zelle 8	Zelle 9	Temperatur
h 180	h 176	h 156	h 140	h 135	
l G	l G	l G	l G	l G	
158 ,87 <sub>8</sub> 149 ,82 <sub>6</sub>	146 ,82 <sub>9</sub> 142 ,80 <sub>6</sub>	156 ,91 <sub>3</sub> 153 ,89 <sub>5</sub>	111 ,79 <sub>2</sub> 105 ,75 <sub>0</sub>	69 ,51 <sub>1</sub> 64 ,47 <sub>4</sub>	16° C 17° C
140 ,77 <sub>7</sub> 142 ,78 <sub>9</sub>	149 ,84 <sub>6</sub> 155 ,88 <sub>0</sub>	151 ,88 <sub>1</sub> 154 ,90 <sub>1</sub>	110 ,78 <sub>6</sub> 114 ,81 <sub>4</sub>	59 ,34 <sub>7</sub> 63 ,46 <sub>7</sub>	17° C 20° C
152 ,84 <sub>4</sub> 157 ,87 <sub>2</sub>	157 ,89 <sub>1</sub> 164 ,93 <sub>0</sub>	158 ,92 <sub>4</sub> 159 ,93 <sub>0</sub>	125 ,89 <sub>2</sub> 139 ,99 <sub>2</sub>	74 ,54 <sub>0</sub> 83 ,61 <sub>5</sub>	18° C 24° C
161 ,89 <sub>4</sub> 165 ,91 <sub>6</sub>	168 ,95 <sub>4</sub> 166 ,94 <sub>3</sub>	162 ,94 <sub>3</sub>		95 ,70 <sub>4</sub> 98 ,72 <sub>6</sub>	19° C 19° C
167 ,92 <sub>8</sub> 175 ,97 <sub>2</sub>				95 ,70 <sub>4</sub> 102 ,75 <sub>6</sub>	19° C 21° C
171 ,95 <sub>0</sub>				100 ,74 <sub>1</sub>	18° C

belle 4.

1 Teilstrich entspricht 3,3  $\mu$ .

Zelle 5	Zelle 6	Zelle 7	Zelle 8	Zelle 9	Temperatur
h 171	h 174	h 163	h 184	h 188	
l G	l G	l G	l G	l G	
114 ,66 <sub>7</sub> 116 ,67 <sub>8</sub>	132 ,75 <sub>8</sub> 123 ,70 <sub>7</sub>	112 ,68 <sub>7</sub> 106 ,65 <sub>0</sub>	139 ,75 <sub>4</sub> 139 ,75 <sub>4</sub>	120 ,63 <sub>8</sub> 113 ,60 <sub>1</sub>	16° C 17° C
110 ,64 <sub>2</sub> 119 ,69 <sub>5</sub>	126 ,72 <sub>4</sub> 133 ,76 <sub>4</sub>	100 ,61 <sub>3</sub> 102 ,62 <sub>6</sub>	131 ,71 <sub>2</sub> 139 ,75 <sub>4</sub>	114 ,60 <sub>6</sub> 115 ,61 <sub>2</sub>	17° C 20° C
127 ,74 <sub>2</sub>		105 ,64 <sub>4</sub> 110 ,67 <sub>5</sub>	146 ,79 <sub>3</sub> 156 ,84 <sub>7</sub>		18° C 24° C
		126 ,77 <sub>3</sub>	159 ,86 <sub>2</sub> 168 ,91 <sub>0</sub>		19° C 19° C
			172 ,93 <sub>4</sub>		19° C

Abb. 4. *Pleurotaenium Ehrenbergii* in 0,5 mol Traubenzucker.

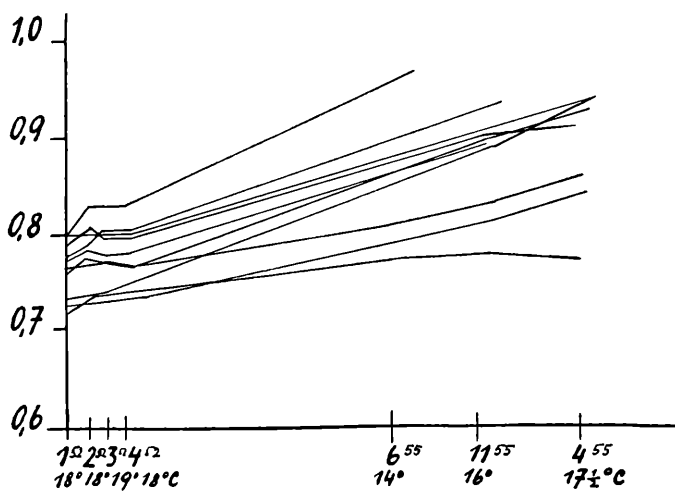
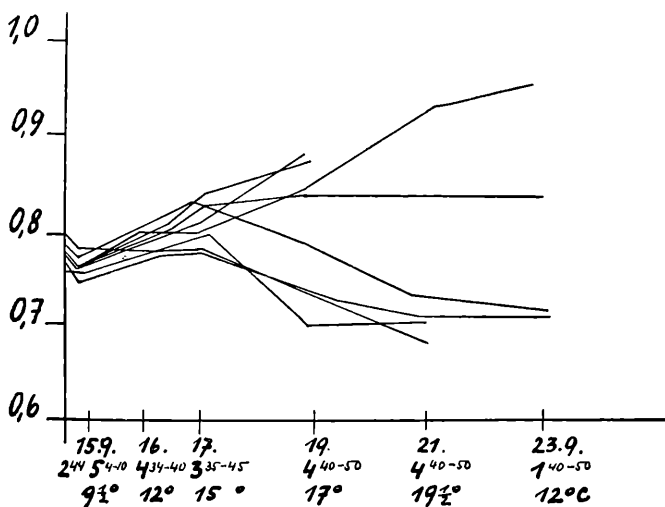
Zum Vergleich habe ich zwei Kurven nach den Angaben Höflers (1926 „Über die Zuckerpermeabilität plasmolysierter Protoplaste“), welche die Traubenzuckerpermeabilität der Stengel-epidermis von *Gentiana Sturmi*ana und von *Majanthemum bifolium* zeigen, gezeichnet (Abb. 5 und Abb. 6).

Die im September an *Pleurotaenium Ehrenbergii* ermittelten Werte für  $\Delta G$  waren ähnliche den Augustwerten:

0,0038	0,0032	0,0022	0,0041	0,0023	0,0033
0,0037	0,0025	0,0018	0,0048	0,0029	0,0024
0,0026	0,0014	0,0050	0,0051.	Mittelwert: 0,00313.	

Am 30. September 1949 wurde *Closterium Dianae* aus RMK. in 0,8 molarem Traubenzucker 2 Tage lang beobachtet. Es trat bei allen 10 Zellen nur Verkürzung des Protoplasten, aber nirgends Ausdehnung ein. Der Versuch wurde damals vorzeitig abgebrochen.




 Abb. 5. *Majanthemum bifolium*.

 Abb. 6. *Gentiana Sturmiiana*.

Die Zellen von *Closterium striolatum*, *Cl. angustatum* und *Cl. Baillyanum*, die im Juli 1949 untersucht und gemessen worden waren, verhielten sich nach qualitativer Schätzung der Protoplastenvolumina ähnlich wie *Pleurotaenium Ehrenbergii*. Wie schon oben erwähnt, haben aber die Messungen an diesen Objekten nur beschränkten Wert, da die Längsabhebung nicht berücksichtigt werden kann, ebenso wie die Krümmung der Zelle und der kleinere Durchmesser an den Zellenden. Um dennoch wenigstens ein ungefähres Bild vom Plasmolyseverlauf dieser Zellen zu vermitteln, ist die Veränderung der Länge der Protoplasten in Tabelle 5—8 in Mikrometerteilstrichen angegeben. Ein Teilstrich entspricht  $3,3 \mu$ .

Plasmolyseverlauf in Traubenzucker  
bei *Closterium striolatum*.

Tabelle 5.

Datum	Z. 1 Diff.	Z. 2 Diff.	Z. 3 Diff.	Z. 4 Diff.	Z. 5 Diff.	Z. 6 Diff.
20. 7. 49	l=32	l=46	l=45	l=58	l=40	l=50
21. 7. 49	28 - 4	46 0	41 - 4	48 - 10	38 - 2	52 + 2
22. 7. 49	28 0	54 + 8	37 - 4	52 + 4	39 + 1	52 0
24. 7. 49	31 + 3	65 + 11	37 0	52 0	41 + 2	50 - 2
25. 7. 49	36 + 5	65 0	37 0	52 0	43 + 2	50 0
27. 7. 49	32 - 4	89 + 24		59 + 7	46 + 3	64 + 14
28. 7. 49		89 0		63 + 4		
29. 7. 49		89 0		65 + 2		
30. 7. 49				65 0		
31. 7. 49				66 + 1		

Tabelle 6.

Datum	Z. 7 Diff.	Z. 8 Diff.	Z. 9 Diff.	Z. 10 Diff.	Z. 11 Diff.	Z. 12 Diff.
20. 7. 49	l=43	l=53	l=58	l=50	l=48	l=40
21. 7. 49	44 + 1	50 - 3	36 - 22	40 - 10	43 - 5	31 - 9
22. 7. 49	49 + 5	49 - 1	35 - 1	39 - 1	41 - 2	30 - 1
24. 7. 49	41 - 8	49 0	35 0	42 + 3	42 + 1	31 + 1
25. 7. 49	53 + 12	53 + 4	42 + 7	43 + 1	46 + 4	33 + 2
27. 7. 49		56 + 3	43 + 1	44 + 1	46 0	34 + 1
28. 7. 49		65 + 9	52 + 9	49 + 5	55 + 9	36 + 2
29. 7. 49		71 + 6	55 + 3			37 + 1

Tabelle 7.

Datum	Z. 1 Diff.	Z. 2 Diff.	Z. 3 Diff.	Z. 4 Diff.
20. 7. 49	l = 44	l = 43	l = 31	l = 26
21. 7. 49	35 - 9	37 - 6	27 - 4	28 + 2
22. 7. 49	35 0	36 - 1	25 - 2	28 0
23. 7. 49	35 0	37 + 1	27 + 2	28 + 1
24. 7. 49	36 + 1	42 + 5	27 0	29
25. 7. 49	37 + 1	42 0	31 + 4	
27. 7. 49	39 + 2	44 + 2	31 0	
28. 7. 49	40 + 1	45 + 1	36 + 5	

Plasmolyseverlauf in Traubenzucker bei  
*Closterium angustatum* und *Closterium Baillyanum*.

Tabelle 8.

Datum	Cl. ang. Diff.	Cl. ang. Diff.	Cl. B. Diff.	Cl. B. Diff.	Cl. B. Diff.
20. 7. 49	l = 76	l = 79	l = 60	l = 72	l = 54
21. 7. 49	60 - 16	78 - 1	50 - 10	57 - 15	48 - 6
22. 7. 49	65 + 5	76 - 2	51 + 1	56 - 1	48 0
24. 7. 49	64 - 1	78 + 2	53 + 2	57 + 1	48 0
25. 7. 49	68 + 4	77 - 1	58 + 5	59 + 2	52 + 4
27. 7. 49	102 + 34	77 + 23	59 + 1	60 + 1	52 0
28. 7. 49	102 0	100	62 + 3	60 0	52 + 2
29. 7. 49			68 + 6	63 + 3	54

Erwähnenswert sind die Plasmakappen, die bei *Closterium angustatum* und *Cl. striolatum* zur Zeit der stärksten Ausdehnung fast immer ausgebildet sind und dann manchmal wieder verschwinden.

Wenn man also den Plasmolyseverlauf kurz charakterisiert, so herrscht zunächst zweifellos Exosmose vor. Daß es sich nur um weiter fortschreitende Plasmolyse, die durch das Eintrocknen und daher Konzentrierterwerden der Lösung zustande kommt, handelt, kommt nicht in Frage, da die Präparate mit einer dicken Vaseline-schicht von der Luft abgeschlossen sind und nur wenige kleine Luftblasen zur Gesunderhaltung der Zellen mit eingeschlossen

wurden. Bei den im Juli untersuchten Zellen hält die Verkürzung der Protoplasten zwei bis drei Tage an, bei den im September gemessenen Zellen nur ein bis zwei Tage. Es braucht sich bei dieser Verkleinerung der Protoplasten nicht nur um ein Austreten verschiedener Stoffe handeln, sondern es ist auch möglich, daß dabei chemische Stoffumsetzungen eine Rolle spielen. Doch möchte ich deshalb noch nicht von „Katatonose“ und „Anatonose“ sprechen, denn unter diesen in der älteren Literatur viel gebrauchten Ausdrücken war ursprünglich eine regulative Änderung der osmotischen Werte verstanden worden. Die exakten Messungen an *Pleurotaenium Ehrenbergii* zeigen, daß einerseits eine solche Exosmose, die nach Erreichung des osmotischen Gleichgewichtes stattfindet, bei den Algenzellen plasmometrisch faßbar ist, daß außerdem aber auch chemische Umsetzungen im Protoplasten vor sich gehen, die in kleineren Änderungen des osmotischen Wertes ihren Ausdruck finden. Da das osmotische Gleichgewicht beim Plasmolyseeintritt bei Desmidiaceen in längstens 10 bis 15 Minuten erreicht wird, handelt es sich bei allen in unserem Zeitmaßstab erfaßten Volumsschwankungen um Vorgänge der früher aufgezählten Art, um Zuckerpermeabilität, Exosmose von Zellsaftstoffen oder chemische Umsetzungen in der Vakuole.

Das Absinken der Kurvenäste, das z. B. im Hochsommerversuch an *Pleurotaenium Ehrenbergii* in den ersten zwei bis drei Tagen das Bild beherrscht, ist wahrscheinlich auf Exosmose von Vakuolenstoffen aus dem Protoplasten zurückzuführen. Weiterhin folgt dann in der Mehrzahl der intakten Protoplasten ein erst langsames und dann rascheres Ansteigen der Kurvenäste. Die Volumszunahme ist aller Wahrscheinlichkeit nach auf die Endosmose von Zucker in die Protoplasten zurückzuführen. Wir können also mit Vorbehalt aus diesen Kurvenstücken Permeationswerte der Protoplasten berechnen. Im September ist die anfängliche Volumsschwankung und die Rückdehnung der Protoplasten geringer als im Sommer. Das weist auf eine etwas geringere Zuckerpermeabilität hin, die aber doch in der gleichen Größenordnung liegt. Die Zellen sterben auch relativ früher ab. Während der Längsausdehnung der Protoplasten bleibt der Chromatophor zurück, so daß der grüne Mittelteil des Protoplasten vorübergehend von zwei farblosen Enden flankiert ist. In einzelnen Fällen dehnt sich der Chromatophor später auch aus, so daß er bis in die Menisken reicht. Meist bleiben die nicht grünen, nur vom Plasma erfüllten Enden aber erhalten. Im letzten Abschnitt der Versuche schwankt das Volumen der Protoplasten nur noch wenig. Das mag einerseits auf Verminderung der Zuckerdurchlässigkeit der Proto-

plasten zurückzuführen sein, andererseits weist die leichte Volumsverkleinerung am Ende der Kurven vielleicht auch auf eine neuerliche leichte Exosmose hin, die am Tage vor dem Absterben einsetzt.

Bei unvoreingenommener Betrachtung der Kurven ist es sehr wahrscheinlich, daß es sich bei der Vergrößerung der Protoplasten um Zuckerpermeabilität handelt. Die Permeationsgeschwindigkeit ist nicht übermäßig hoch; die errechnete Größenordnung der Zuckerpermeabilität entspricht durchaus dem, was für den Normaltyp bekannt ist. Höfler (1926) findet für *Majanthemum bifolium* eine Permeabilität für Traubenzucker von  $\Delta G$  0,00636 und für Fruchtzucker  $\Delta G$  0 00874. Hofmeister fand 1935 an mehreren Objekten eine ähnliche Größenordnung, wie z. B. bei *Potamogeton natans*, *Muscari racemosum*, *Caltha palustris*, *Ranunculus repens* und *Taraxacum officinale* (vgl. Hofmeister 1942).

Jedenfalls steht fest, daß die Desmidiaceen auch nicht annähernd eine Zuckerpermeabilität von solcher Höhe zeigen, wie sie für einige Diatomeen mit Sicherheit nachgewiesen ist, daß das Desmidiaceenplasma also nicht dem „Diatomeen-Typ“ angehört.

### Permeabilität für Malonamid und Erythrit.

Ich habe zwei andere langsam permeierende Diosmotika an *Closterium Dianae* und *Pleurotaenium Ehrenbergii* auf ihr Permeiervermögen geprüft, nämlich Malonamid und Erythrit. Malonamid, das von Collander und Bärlund (1933) erstmalig herangezogen worden war, spielt als relativ großmolekulares und durch seine Unschädlichkeit ausgezeichnetes Amid in den Permeabilitätsreihen eine große Rolle (vgl. Collander und Bärlund, Höfler, Hofmeister, Marklund und Elo).

Als Beispiel für die Permeation von Malonamid seien zwei Versuche vom 30. 9. 1949 angeführt:

*Closterium Dianae* aus RMK. wurde um 10 Uhr 55 bei einer Temperatur von 20 Grad Celsius in 0,75 molares Malonamid eingelegt.

Zelle 1	Zelle 2	Zelle 3	Zelle 4	Zelle 5
h 52	h 53	h 56	h 54	h 50
13 <sup>h</sup> 25 1 = 21	13 <sup>h</sup> 26 1 = 21	13 <sup>h</sup> 27 1 = 36	13 <sup>h</sup> 28 1 = 31	13 <sup>h</sup> 29 1 = 23
17 <sup>h</sup> 25 23	17 <sup>h</sup> 26 29	17 <sup>h</sup> 27 40	17 <sup>h</sup> 28 37	17 <sup>h</sup> 29 31
1. 10. 49				
10 <sup>h</sup> 25 30	10 <sup>h</sup> 26 30	10 <sup>h</sup> 27 dpl.	10 <sup>h</sup> 28 dpl.	10 <sup>h</sup> 29 dpl.
$\Delta G$ 0,0038	$\Delta G$ 0,0038	$\Delta G$ 0,01	$\Delta G$ 0,015	$\Delta G$ 0,0187

Zelle 6 h 51	Zelle 7 h 56	Zelle 8 h 60	Zelle 9 h 54	Zelle 10 h 57
13 <sup>h</sup> 30 l = 25	13 <sup>h</sup> 31 l = 27	13 <sup>h</sup> 32 l = 29	13 <sup>h</sup> 33 l = 30	13 <sup>h</sup> 34 l = 35
17 <sup>h</sup> 30 27	17 <sup>h</sup> 31 28	17 <sup>h</sup> 32 31	17 <sup>h</sup> 33 34	17 <sup>h</sup> 34 44
1. 10. 49				
10 <sup>h</sup> 30 dpl.	10 <sup>h</sup> 31 dpl.	10 <sup>h</sup> 32 53	10 <sup>h</sup> 33 dpl.	10 <sup>h</sup> 34 dpl.
Δ G 0,005	Δ G 0,0045	Δ G 0,0045	Δ G 0,012	Δ G 0,026

Zugleich mit *Closterium Dianae* wurde auch *Pleurotaenium Ehrenbergii* in 0,75 molares Malonamid eingelegt.

	Zelle 1 h 141	Zelle 2 h 132	Zelle 3 h 198	Zelle 4 h 177
	13 <sup>h</sup> 35 l = 95	13 <sup>h</sup> 36 l = 111	13 <sup>h</sup> 37 l = 157	13 <sup>h</sup> 38 l = 131
	17 <sup>h</sup> 35 97	17 <sup>h</sup> 36 118	17 <sup>h</sup> 37 157	17 <sup>h</sup> 38 131
1. 10. 49	10 <sup>h</sup> 35 dpl.	10 <sup>h</sup> 36 dpl.	10 <sup>h</sup> 37 dpl.	10 <sup>h</sup> 38 dpl.
	Δ G 0,00355	Δ G 0,01325		

Übersicht über die Gesamtheit der bei *Closterium Dianae* ermittelten Werte:

Datum	Temp.	Einzelwerte für Δ G					Mittelwert
29. 9. 49	15° C	0,015	0,0096	0,0118	0,0516	0,0414	0,0259
9. 10. 49	18° C	0,0166	0,0966				0,0566
28. 9. 49	18° C	0,0035	0,0063	0,0118	0,0033	0,0022	0,0042
30. 9. 49	20° C	0,0038	0,0038	0,01	0,0015	0,0187	
		0,005	0,0045	0,0045	0,0112	0,026	0,0102

Übersicht über die Gesamtheit der bei *Pleurotaenium Ehrenbergii* ermittelten Werte:

Datum	Temp.	Einzelwerte für Δ G				Mittelwert
28. 9. 49	18° C	0,0125	0,0118			0,0122
29. 9. 49	15° C	0,0076	0,0098	0,0077	0,0238	0,01222
30. 9. 49	20° C	0,0035	0,0133			0,0084

Erythrit wird seit Overton als vierwertiger Alkohol in der Permeationsreihe zwischen Glycerin und die langsam permeierenden fünf- und sechswertigen Zucker gestellt. Er gehört zu den besten Plasmolytika überhaupt. Selbst in hypertonischen Lösungen bleiben die Zellen noch tagelang am Leben. Da die Molekülgröße geringer ist als bei Rohrzucker, tritt er auch durch Zellwände, bei denen Rohrzucker bereits osmotischen Kollaps hervorruft. Höfler führte 1934 erstmalig quantitative plasmometrische Untersuchungen über die Durchlässigkeit von Pflanzenzellen für Erythrit durch; Bärlund untersuchte 1929 grenzplasmolytisch

die Aufnahme in Rhoeo-Zellen. Marklund ermittelte 1936 an *Zygnema cyanophorum* die Permeationskonstante von Erythrit mit  $P' 0,012$  und Elo für *Spirogyra* sp. mit  $0,022$ .

Als Beispiel für die Permeation von Erythrit seien zwei Versuche vom 9. 10. 1949 angeführt:

*Closterium Dianae* aus RMK. wurde um 10 Uhr 25 in 0,7 molaren Erythrit eingelegt; die Temperatur betrug 18 Grad Celsius.

Zelle 1	Zelle 2	Zelle 3	Zelle 4	Zelle 5
h 57	h 55	h 47	h 33	h 55
13h 29 l = 31	13h 30 l = 28	13h 31 l = 18	13h 32 l = 50	13h 33 l = 31
16h 29 30	16h 30 27	16h 31 19	16h 32 32	16h 33 32
18h 29 29	18h 30 27	18h 31 19	18h 32 29	18h 33 28
10. 10. 49				
8h 29 l = 29	8h 30 35	8h 31 19	8h 32 24	8h 33 31
12h 29 30	12h 30 35	12h 31 19	12h 32 24	12h 33 34
11. 10. 49				
8h 29 l = 35	8h 30 32	8h 31 19	8h 32 26	8h 33 35
13h 29 dpl.	13h 30 32	13h 31 19	13h 32 27	13h 33 35
	17h 30 34	17h 31 21	17h 32 27	17h 33 36
$\Delta G 0,0025$	$\Delta G 0,00093$	$\Delta G 0,00031$	$\Delta G 0,0012$	$\Delta G 0,00062$

*Pleurotaenium Ehrenbergii*, ebenfalls aus RMK., wurde gleichzeitig mit *Closterium Dianae* in 0,7 molaren Erythrit eingeschlossen.

Zelle 1	Zelle 2	Zelle 3	Zelle 4	Zelle 5
h 177	h 136	h 147	h 135	h 138
13h 24 l = 140	13h 25 l = 66	13h 26 l = 85	13h 27 l 66	13h 28 l = 58
16h 24 135	16h 25 56	16h 26 73	16h 27 68	16h 28 60
18h 24 134	18h 25 53	18h 26 73	18h 27 59	18h 28 69
10. 10. 49				
8h 24 l = 158	8h 25 44	8h 26 60	8h 27 51	8h 28 43
12h 24 158	12h 25 44	12h 26 67	12h 27 46	12h 28 43
11. 10. 49				
8h 24 l = 158	8h 25 43	8h 26 68	8h 27 45	8h 28 43
13h 24 121	13h 25 43	13h 26 61	13h 27 53	13h 28 42
17h 24 123	17h 25 45	17h 26 62	17h 27 50	17h 28 41
$\Delta G 0,0084$	$\Delta G 0,0074$	$\Delta G 0,0017$	$\Delta G 0,0056$	$\Delta G 0,0018$

Übersicht über die Permeationswerte von Erythrit bei *Closterium Dianae*:

Datum	Temp.	Einzelwerte für $\Delta G$					Mittelwert
29. 9. 49.	15° C	0,0064	0,0162	0,0064	0,0066		0,00888
30. 9. 49.	18° C	0,0023	0,0058	0,0028	0,0087	0,01	
		0,0065	0,0044	0,0042	0,0053	0,0027	0,00526
9. 10. 49.	18° C	0,0025	0,00093	0,00031	0,012	0,00062	0,00111

Übersicht über die Permeationswerte von Erythrit bei  
*Pleurotaenium Ehrenbergii*:

Datum	Temp.	Einzelwerte für $\Delta G$					Mittelwert
9. 9. 49.	18° C	0,0084	0,0074	0,0017	0,0056	0,0018	0,00498
30. 9. 49.	18° C	0,0025	0,00274				0,00622

Die Permeabilität von Malonamid entspricht ungefähr der Durchschnittspermeabilität der amidophilen Typen. Die Permeabilität für Erythrit ist etwas höher als die für Traubenzucker, liegt aber in derselben Größenordnung.

Vergleicht man die Mittelwerte für  $\Delta G$  für die verschiedenen Plasmolytika und ihr Verhältnis zueinander, wenn Harnstoff gleich eins ist, so ist das Ergebnis folgendes:

Plasmolytikum	$\Delta G$	Verhältnisswert
Methylharnstoff	2,6800	4,915
Harnstoff	0,5452	1
Glycerin	0,0441	0,0808
Malonamid	0,0176	0,0322
Erythrit	0,0043	0,00789
Traubenzucker	0,0037	0,00678

Die Permeabilitätsreihe des Desmidiaceenplasmas entspricht demnach dem Chara-Majanthemum-Typ oder dem amidophilen Lösungstyp der Plasmapermeabilität.

## Anhang.

### Permeabilitätsbestimmung an verschiedenen Desmidiaceen mit unregelmäßiger Zellform.

Im Sommer 1951 wurden an zahlreichen Arten, die mit der plasmometrischen Methode nicht erfaßt werden konnten, vergleichende Permeabilitätsversuche nach der Deplasmolysezeitmethode von Hofmeister 1948 durchgeführt. Nach der grenzplasmolytischen Feststellung des osmotischen Wertes wurde  $P'$  aus der Formel  $\frac{120 (C - O)}{T (C + O)}$  errechnet, wobei C die Konzentration des Plasmolytikums, O der osmotische Wert der Zelle und T die Deplasmolysezeit bedeutet. Die Versuche dienten zur Überprüfung der an *Closterium Dianae* und *Pleurotaenium Ehrenbergii* gewonnenen Werte. Da es sich nur um einen Vergleich der Harnstoff- und Glycerinpermeabilität handelte, wurden die Werte in  $P'$  ausgedrückt und nicht in  $\Delta G$  umgerechnet.



	0,8 Ha.	0,6 Harnst.	0,8 Gl.	0,6 Glyc.
<i>Cylindrocystis</i> Breb.	0,68		0,9 1,3	
<i>Netrium Digtus</i>	0,28	2,46 2,41 1,98 1,64 1,23 1,00 0,96 0,9 0,85 0,82 0,7 0,65 0,55 0,52	0,19	2,46 2,00 1,64 1,23 1,00 0,96 0,85 0,85 0,73 0,7 0,57 0,44 0,41
		MP' : 1,14		MP' : 1,08
<i>Closterium didymotocum</i>	0,209 0,13	0,206 0,19	0,017 0,016	0,021
<i>Cl. angustatum</i>		0,98	0,0075	0,034
<i>Cl. striolatum</i>	0,09 0,26 0,046	0,44 0,43 0,41 0,41 0,37 0,35 0,046		0,041 0,037 0,034 0,015 0,013 0,011 0,01 0,006 0,006 0,004 0,003
		MP' : 0,35		MP' : 0,0175
<i>Cl. parvulum</i>	0,38 0,2	1,0 1,0 0,8 0,66 0,44	0,19	1,0 0,8 0,41
		MP' : 0,96		MP' : 0,71
<i>Cl. Lunula</i>				0,029
<i>Cl. gracile</i>		2,0 1,33 1,0 1,0 0,8 0,66 0,44	0,036	0,024 0,015 0,111
		MP' : 1,06		MP' : 0,05
<i>Cl. rostratum</i>		1,33 1,0		0,4 0,33 0,28 0,25
<i>Pleurotaenium</i> Ehrenb.	1,04	1,05		0,019
<i>Euastrum oblongum</i>	1,35	0,63 0,15 0,087		
<i>Eu. affine</i>		0,52 0,44 0,31 0,13		
<i>Eu. ansatum</i>	1,35	0,63 0,45		0,004 0,004 0,003 0,001
<i>Eu. insigne</i>		0,13 0,12		0,026
<i>Eu. verrucosum</i>	1,38 0,69 0,39			
<i>Micrasterias pinn.</i>		0,088		
<i>Micr. truncata</i>	0,165 0,14		0,00044	0,0166 0,013
<i>Micr. rotata</i>		0,38		0,0085
<i>Cosmarium pseudopyr.</i>	0,5 0,34 0,26	0,4	0,34 0,16 0,088	
<i>Cosm. connatum</i>		0,48		

	0,8 Ha.	0,6 Harnst.	0,8 Gl.	0,6 Glyc.
<i>Cosm. cucurbita</i>	0,45 0,34		0,37 0,061 0,029	
<i>Xanthidium armatum</i>	0,218		0,00044	0,0166 0,013 0,0085
<i>Staurastrum muticum</i>		0,44 0,39 0,28		0,39 0,31 0,13 0,12 0,11
		<b>MP' : 0,37</b>		<b>MP' : 0,21</b>
<i>Staur. polymorphum</i>		0,66		0,73 0,57 0,44 0,36 0,33 0,26 0,23 0,16 0,13
				<b>MP' : 0,37</b>
<i>Staur. glabrum</i>		0,78 0,52		0,9 0,45 0,35 0,29 0,43 0,21 0,18 0,13 0,115
		<b>MP' : 0,65</b>		<b>MP' : 0,34</b>
<i>Staur. furcatum</i>	0,23			
<i>Hyalotheca diss.</i>			0,026	
<i>Desmidium Swartzii</i>	0,23	1,57 0,52 0,48 1,6		0,26 0,07
<i>Gymnozyga Breb.</i>		1,6	0,17	

Aus der Tabelle läßt sich entnehmen, daß die Durchlässigkeit für Harnstoff und Glycerin bei den hier untersuchten Arten in der gleichen Größenordnung liegt wie bei den eingehend untersuchten Formen *Cl. Dianae* und *Plt. Ehrenbergii*. Die höchsten Werte wurden an *Netrium Digitus*  $P' = 2,46$  festgestellt; auch *Closterium gracile* wies in 0,6 molarem Harnstoff Werte von  $P' = 2,0$  auf. Die  $P'$ -Werte der übrigen untersuchten Arten lagen niedriger, wie *Cl. striolatum*  $P' = 0,35$  (Mittelwert). Beachtenswert ist die vielfach hohe Streuung, wie z. B. bei *Desmidium Swartzii*  $P' = 1,6$  bis  $P' = 0,48$ .

Was nun den Vergleich der Harnstoff- und Glycerinpermeabilität betrifft, so zeigt sich, daß die Mesotaeniale *Cylindrocystis Breb.* die einzige Art ist, bei der rascheres Permeieren von Glycerin zu beobachten war. Bei allen anderen Arten permeiert Harnstoff rascher als Glycerin, wenn auch bei weitem nicht überall um so viel wie bei *Cl. Dianae* und *Pleurotaenium Ehrenbergii*. Bei *Netrium Digitus*, *Cl. parvulum* und den kleinen *Staurastren* ist die Permeationsgeschwindigkeit der beiden Plasmolytika annähernd gleich, während sie bei anderen Arten, wie z. B. *Cl. striolatum*,

*Cl. gracile*, *Eu. ansatum* und *Micr. truncata*, sehr große Unterschiede aufweist. Hier eilt der Harnstoff dem Glycerin weit voraus.

Diese Versuche haben also gezeigt, daß wir es bei der Mehrzahl der Arten mit einem reinen amidophilen Lösungstyp zu tun haben, während bei einigen anderen Arten die Glycerinpermeabilität demgegenüber erhöht ist.

### Zusammenfassung.

1. Die Permeabilität des Desmidiaceenplasmas für Anelektrolyte wurde an *Pleurotaenium Ehrenbergii* und *Closterium Dianae* plasmometrisch untersucht. Für diese Objekte wurde festgestellt, daß Methylharnstoff rascher permeiert als Harnstoff und dieser wieder rascher als Glycerin. Wenn die Stundenrückdehnung der Protoplasten als Maß für die Permeabilität verwendet wird, so beträgt das Verhältnis der Permeationsgeschwindigkeit der einzelnen Plasmolytika zueinander bei einigen gleichzeitig laufenden Parallelversuchen durchschnittlich:

$$M : H : G = 6 : 1 : 0,025,$$

was dem Normaltyp der vergleichenden Permeabilitätsforschung entspricht.

2. Eine fixe Abhängigkeit der Permeabilität von der H-Ionenkonzentration konnte nicht mit Sicherheit festgestellt werden.

3. Licht und höhere Temperatur fördern die Permeabilität, und zwar nicht nur gekoppelt, sondern auch jeder dieser wichtigen Umweltfaktoren für sich.

4. Traubenzucker permeiert bei den untersuchten Formen *Pleurotaenium Ehrenbergii* und *Closterium Dianae* ganz langsam, und zwar in dem Maß, wie es für den *Majanthemum-Chara-Typ* gewöhnlich gefunden wird. Anfänglich wird die Traubenzuckerpermeabilität allerdings durch Exosmose überdeckt.

5. Die Permeationswerte für Malonamid und Erythrit liegen ebenfalls in der Größenordnung, die für den Normaltypus charakteristisch ist.

6. Die Durchschnittswerte der Stundenrückdehnung liegen für die einzelnen Plasmolytika bei:

Methylharnstoff	2,6800
Harnstoff	0,5452
Glycerin	0,0441
Malonamid	0,0176
Erythrit	0,0043
Traubenzucker	0,0037.

7. Die Permeationsgeschwindigkeit von Glycerin reicht bei einigen Arten, wie z. B. *Cylindrocystis Brebissonii*, *Netrium Digitus*, *Closterium parvulum* und einigen *Staurastren*, an die des Harnstoffs heran oder weist doch zumindest die gleiche Größenordnung auf.

8. Das Plasma der Desmidiaceen gehört demnach in bezug auf seine Permeabilitätseigenschaften dem amidophilen Lösungstyp an, wenn auch bei einigen Arten die Glycerinpermeabilität erhöht ist.

### Literaturverzeichnis.

- Andrews, F. W., 1915. Die Wirkung der Zentrifugalkraft auf Pflanzen. Jahrb. f. wiss. Bot. 56, S. 221, 251.
- Bärlund, H., 1929. Permeabilitätsstudien an Epidermiszellen von *Rhoeo discolor*. Acta bot. Fenn., Bd. 5, S. 1.
- Biebl, R., 1948. Permeabilitätsversuche an der Kartoffelpflanze. Österr. bot. Zeitschr. 95, Heft 2.
- Carter, N., 1919. Studies on the Chloroplasts of Desmids I.—IV. Annals of Botany 33, p. 215, 265, 295, 303.
- Cholnoky, B. und Schindler, H., 1951. Winterlicher Diatomeen-Aspekt des Ramsauer Torfmoores. Verh. d. zool.-bot. Ges. Bd. 92, S. 228.
- Collander, R., 1949. The permeability of plant protoplasts to small molecules. Physiol. Plantarum 2:300.
- Collander und Bärlund, 1933. Permeabilitätsstudien an *Chara ceratophylla* II. Permeabilität für Nichtelektrolyte. Acta bot. Fenn. Bd. 11, S. 2.
- Collander, R. und Wikström, B., 1949. Die Permeabilität pflanzlicher Protoplasten für Harnstoff und Alkylharnstoffe. Physiologia Plantarum, vol. 2, p. 235.
- Eibl, K., 1939 a. Kontraktion der Chromatophoren bei *Micrasterias rotata*. Protopl. 32, S. 251.
- 1939 b. Das Verhalten der *Spirogyra*-Chloroplasten bei Zentrifugierung. Protopl. 33, S. 73.
- 1939 c. Studien über das Plasmolyseverhalten der Desmidiaceen-Chromatophoren. Protopl. 33, S. 531.
- 1939. Plasmolytische Untersuchungen an den Plastiden von *Spirogyra*. Protopl. 33, S. 161.
- 1940. Lipophanerose der Plastiden von *Spirogyra* durch Kaliumoleat u. a. Seifen. Protopl. 34, S. 343.
- 1941. Die Restitution der Chromatophorenform bei *Micrasterias rotata* nach Schleuderung. Protopl. 35, S. 595.
- Ello, J. E., 1937. Vergleichende Permeabilitätsstudien, besonders an niederen Pflanzen. Annal. Bot. Sec. Zool. Bot. Fenn. Bd. 8, Nr. 6.
- Fritsch, F. E., 1948. The Structure and Reproduction of the Algae. Cambridge.
- Heimerl, A., 1891. Desmidiaceae alpinae. Verh. d. k. k. zool.-bot. Ges. in Wien 41, S. 587.

- Höfler, K., 1918. Permeabilitätsbestimmung nach der plasmometrischen Methode. Ber. d. dtsh. bot. Ges. 36, S. 114.
- 1926. Über Eisengehalt und lokale Eisenspeicherung in der Zellwand der Desmidiaceen. Sitz.-Ber. d. Akad. Wiss. Wien, math.-nat. Kl., Abt. I, 135. Bd., S. 103.
- 1926. Über die Zuckerpermeabilität plasmolysierter Protoplaste. Planta Bd. 2, S. 454.
- 1934. Permeabilitätsstudien an Stengelzellen von *Majanthemum bifolium*. Sitz.-Ber. d. Akad. Wiss. Wien, math.-nat. Kl., I. Abt., 143. Bd., S. 213.
- 1940. Aus der Protoplasmatik der Diatomeen. Ber. d. dtsh. Bot. Ges. 58, S. 97.
- 1942. Unsere derzeitige Kenntnis von den spezifischen Permeabilitätsreihen. Ber. d. dtsh. Bot. Ges. 60, S. 179.
- 1943. Über Fettspeicherung und Zuckerpermeabilität einiger Diatomeen und über Diagonalsymmetrie im Diatomeenprotoplasten. Protopl. Bd. 38, S. 71.
- 1950. New Facts on Water Permeability. Protopl. Bd. 39, Heft 4, S. 677.
- 1951. Zur Kälteresistenz einiger Hochmooralgen. Verh. d. Zool. Ges. Bd. 92, S. 237.
- 1951. Plasmolyse mit Natriumkarbonat. Protopl. Bd. 40, S. 426.
- Hofmeister, L., 1925. Vergleichende Untersuchungen über spezifische Permeabilitätsreihen. Bibliotheca Botanica Heft 113.
- 1942. Die Permeabilität pflanzlichen Protoplasmas für Anektrolyte. *Tabulae biologicae* vol. 8, p. 122.
- 1948. Über die Permeabilitätsbestimmung nach der Deplasmolysezeit. Sitz.-Ber. d. öst. Akad. d. Wiss. Wien, math.-nat. Kl., Abt. I. 157. Bd., S. 83.
- Klebs, G., 1885. Bewegung und Schleimbildung der Desmidiaceen. Biol. Zentralbl. 5. Bd., S. 353.
- Kopetzky-Rechtperg, O., 1931 a. Über die Zellen in der Gattung *Closterium* Nitzsch. Beih. Bot. Zentralbl. 47, I. Abt., S. 291.
- 1931 b. Die „Zersetzungskörperchen“ der Desmidiaceenzelle. Arch. f. Protistenkunde 75, S. 270.
- 1932. Die Nucleolen im Kern der Desmidiacee. Beih. Bot. Zentralblatt 49, I. Abt., S. 686.
- 1938. Mitteilungen über eine Protoplasmastruktur der Desmidiale *Netrium Digitus* und über einige Inhaltskörper dieser Alge. Protopl. 31, S. 607.
- 1949. Zellbau und Zelleinschlüsse bei Conjugaten, bes. Desmidiales. Protopl. 39, S. 106.
- Krebs, I., 1951. Beiträge zur Kenntnis des Desmidiaceen-Protoplasten. I. Osmotische Werte. II. Plastidenkonsistenz. Sitz.-Ber. d. Öst. Akad. d. Wiss. Wien, math.-nat. Kl., Abt. I, 160. Bd., S. 579.
- Kreuz, J., 1940. Der Einfluß von Calcium- und Kaliumsalzen auf die Permeabilität des Protoplasmas für Harnstoff und Glycerin. Österr. bot. Zeitschr. 90, S. 1.
- Krieger, W., 1933. Die Desmidiaceen Europas mit Berücksichtigung der außereuropäischen Arten. Rabenhorsts Kryptogamenflora 13, I. Abt.
- Küster, E., 1937. Pathologie der Pflanzenzelle, II. Teil, Plastiden. Protoplasmanomographien, Bd. 13.
- 1937 c. Anisotrope Plastiden. Zeitschr. f. wiss. Mikr. Bd. 54, S. 68.
- Lepeschkin, W. W., 1909. Über die Permeabilitätsbestimmung der Plasmamembran für gelöste Stoffe. Ber. d. dtsh. Bot. Ges. 27, S. 129.
- Lütkenmüller, I., 1902. Die Zellmembran der Desmidiaceen Beitr. z. Biol. d. Pfl., Bd. 8, S. 347.

# 328 Krebs, Beiträge zur Kenntnis des Desmidiaceen-Protoplasten.

- Marklund, G., 1936. Vergleichende Permeabilitätsstudien an pflanzlichen Protoplasten. Acta bot. Fenn. Bd. 18, S. 1.
- Menke, W., 1934 a. Chloroplastenstudien. Protopl. 21, S. 279.
- 1934 b. Chloroplastidenstudien. 2. Mitt. Protopl. 22, S. 56.
- Nägeli, N., 1893. Über oligodynamische Erscheinungen in lebenden Zellen. Zürich. Neue Denkschriften allg. Schweiz. Ges. Naturwiss. 23.
- Oltmanns, F., 1922. Morphologie und Biologie der Algen.
- Pecksieder, E., 1947. Permeabilitätsstudien an Lebermoosen. Sitz.-Ber. d. Öst. Akad. d. Wiss. Wien, math.-nat. Kl., Abt. I, 156. Bd., S. 521.
- Repp, G., 1939. Ökologische Untersuchungen im Halophytengebiet am Neusiedler See. Jahrb. Wiss. Bot. 88, S. 554.
- Rottenburg, W., 1943. Die Plasmapermeabilität für Harnstoff und Glycerin in ihrer Abhängigkeit von der Wasserstoffionenkonzentration. Flora Bd. 37, S. 231.
- Weber, F., 1925. Schraubenplasmolyse bei Spirogyra. Ber. d. dtsch. bot. Ges. 43, S. 314.
- 1937. Die Doppelbrechung der Chloroplasten. Protopl. 27, S. 280.
- West, W. und West, G., 1904—1923. A Monographie of British Desmidiaceae, Vol. 1—5, London.